

ESCUELA POLITÉCNICA NACIONAL

FACULTAD DE CIENCIAS

**CONSTRUCCIÓN DE UN ALGORITMO COMPUTACIONAL PARA
MEDIR PROPIEDADES TOPOLÓGICAS DE REDES DE
COMUNICACIÓN CELULAR**

**TRABAJO DE TITULACIÓN PREVIO A LA OBTENCIÓN DEL TÍTULO DE
FÍSICO**

PROYECTO DE INVESTIGACIÓN

JUAN FRANCISCO CHICA MIRANDA

juan.chica01@epn.edu.ec

DIRECTOR: RAMON XULVI-BRUNET, PhD

ramon.xulvi@epn.edu.ec

Quito, marzo, 2023



DECLARACIÓN

Yo, Juan Francisco Chica Miranda, declaro bajo juramento que el trabajo aquí descrito es de mi autoría; que no ha sido previamente presentado para ningún grado o calificación profesional; y que he consultado las referencias bibliográficas que se incluyen en este documento.

La Escuela Politécnica Nacional puede hacer uso de los derechos correspondientes a este trabajo, según lo establecido por la Ley de Propiedad Intelectual, por su Reglamento y por la normatividad institucional vigente.

Una firma manuscrita en tinta azul, que parece ser "Juan Francisco Chica Miranda", escrita sobre una línea horizontal.

Juan Francisco Chica Miranda

CERTIFICACIÓN

Certifico que el presente trabajo fue desarrollado por JUAN FRANCISCO CHICA MIRANDA, bajo mi supervisión.

A handwritten signature in blue ink, appearing to be 'Ramón Xulvi-Brunet', written over a horizontal line.

Ramón Xulvi-Brunet. PhD

DIRECTOR DEL PROYECTO

AGRADECIMIENTOS

A Dios, que no me ha desamparado, aunque el camino ha sido largo y sinuoso.

A mi madre, Paola, por estos años de vida que ha procurado en mi bienestar y fomentado un pensamiento crítico, sensible y empático. Por mostrarme la resiliencia, voluntad y sacrificios necesarios para afrontar las adversidades y continuar con la vida.

A mi padre, Diego, por mostrarme como es el cariño y amor incondicional. Que la vida es importante por como la disfrutas.

A mi Jossy, por el apoyo, metas y propósitos necesarios para que valga la pena. Por mostrarme que los pequeños logros deben ser celebrados y los pequeños momentos son tan importantes como los grandes.

A mi tutor, Ramón, por aportar considerablemente en mi formación académica. Por el tiempo, dedicación y conocimientos impartidos que me provocan a buscar más. A mis profesores, Eliana y Nicolás, que me demuestran que la ciencia va de la mano con el aporte a la comunidad.

A mis abuelos y tíos, por heredarme las cosas más preciadas e intangibles, como la dedicación, la responsabilidad, el amor y el cariño. A mis hermanas por el apoyo y enseñarme tantas cosas sin proponérselo.

A mis amigos universitarios, Carlos, Juanfra, Rubén, Jenn, Cristo, Marck y Kevin. Por tantas experiencias, camaradería y amistad. Por los retos y el apoyo académico. A mis amigos colegiales, Moi, Jonny, Sebas, Hugo, Harry, Richi y Shutter. Por una amistad que ha trascendido el tiempo y distancia.

A todas las personas que son nombradas en este agradecimiento y a las que no, pero han tocado mi vida. Sepan que no hubiera llegado hasta aquí si no fuera por cada una de ustedes.

Juan Francisco

DEDICATORIA

Para mis primos y mis hermanas. Que logren más de lo que se proponen.

Para JuanFra, con tranquilidad y paciencia lo lograré.

Índice general

Abstract	10
Resumen	11
1. INTRODUCCIÓN	12
1.1. Redes de comunicación celular	12
1.2. Relevancia biológica del estudio de redes de comunicación celular	13
1.3. Análisis de la estructura de una red	14
1.4. Medidas topológicas	14
1.5. Objetivo	17
1.6. Outline	17
2. MARCO TEÓRICO	18
2.1. Redes Complejas	18
2.1.1. Red simple indirecta	18
2.1.1.1. Primeros vecinos	18
2.1.2. <i>Degree</i>	18
2.1.3. Componentes	18
2.2. Medidas Topológicas	18
2.2.1. <i>Degree Sequence</i>	19
2.2.2. <i>Clustering Coefficient (CC)</i>	19
2.2.3. Tomografía de redes	19
2.2.4. Vecinos de orden superior	19
2.2.5. Longitud de camino mínima	20
2.2.6. Excentricidad	20
2.2.7. Diámetro	20
2.2.8. Radio	20
2.2.9. <i>Closeness Centrality</i>	21
2.2.10. Correlación	21
2.2.10.1. <i>Degree degree correlation</i>	21
2.2.10.2. <i>Assortative mixing</i>	22
2.2.11. Redes libres de escala	22
2.2.12. Modelo de Barabási y Albert	22
3. DATOS Y METODOLOGÍA	24
3.1. Datos	24
3.1.1. Plataforma NDEx	24
3.1.2. Base de datos HGNC	24
3.1.3. Descripción de las redes	25
3.1.3.1. <i>Human Phosphorylation Pathways</i>	25

3.1.3.2.	<i>NCI PID Complete Interactions</i>	25
3.1.3.3.	<i>BioPlex-3-HEK293T</i>	25
3.1.3.4.	<i>Human gene regulatory network of mesothelioma</i>	25
3.1.3.5.	<i>Human gene regulatory network of adrenocortical carcinoma</i>	25
3.1.3.6.	<i>The basal gene network in the involvement of respiratory viruses infection including SARS-CoV-2</i>	26
3.1.3.7.	<i>Regulon HNSC Head and Neck Squamous Cell Carcinoma</i>	26
3.1.3.8.	<i>Human Gene Regulatory Network of Ovarian Serous Cystadenocarcinoma</i>	26
3.1.3.9.	<i>Pathways Affected by Melanoma Genes</i>	26
3.2.	Redes BA	26
3.3.	Redes	27
3.3.1.	Preparación de redes	27
3.3.2.	Cálculo de medidas	27
4.	RESULTADOS Y DISCUSIÓN	29
4.1.	Redes Barabási-Albert	29
4.2.	Redes de comunicación celular	32
4.2.1.	Degree sequence	32
4.2.2.	Clustering Coefficient	34
4.2.3.	SAPL y longitudes de camino	36
4.2.4.	Closeness	37
4.3.	Disortatividad	38
5.	CONCLUSIONES	41
	CONCLUSIONES	41
	BIBLIOGRAFÍA	43
6.	Anexos	46
6.1.	Modelo Barabási-Albert	46
6.2.	Cálculo Medidas topológicas	49
6.2.1.	Listas simples	49
6.2.2.	Redes	53
6.2.2.1.	Declaración de tipo de datos en listas simples	53
6.2.2.2.	Polimorfismo de listas	53
6.2.2.3.	Estructura de capas (lista de listas)	55
6.2.2.4.	Declaración de tipo de dato elemento de la red	57
6.2.2.5.	Funciones y subrutinas para cálculo de medidas topológicas	57
6.2.2.6.	Funciones y subrutinas de indicadores estadísticos	67
6.3.	Modulo de Python	70
6.3.1.	Importe y limpieza de redes	70
6.3.2.	Busqueda en base de datos HGNC y asociacion de moléculas con su tipo	72

Índice de figuras

1.1.	En la figura mostramos un fragmento de una red de transducción de señales. Dicho fragmento es el encargado de la recepción de señales en la membrana por diferentes tipos de receptores. Por interacción electrostática mediante el ión CA^{2+} , rTKS que recolecta señales producidas por hormonas. Los integrins se encargan de la recepción de señales mediante la adhesión de lípidos, los GPCRs también reciben señales por adhesión pero de proteínas y concatenan a estas con proteínas G. Este proceso después de señales intermedias, mediadas principalmente por isoformas de adenil ciclasa AC que interaccionan con el segundo mensajero cAMP el cuál cumple el rol de coleccionar todas las señales y regularlas para transmitir las hacia otros elementos intracelulares. Se muestra también la abstracción de la red de comunicación celular a una red compleja.	15
1.2.	A la izquierda esquema de uno de los caminos más cortos entre los nodos 4 y 11 de la red, el camino pasa a través de los nodos 3, 9 y 10 en ese orden para conectar los nodos 4 y 11. A la derecha se muestra el triángulo $A - B - C$ formado por estos vértices y sus aristas correspondientes. El nodo A tiene 3 aristas conectadas a él, por lo cual su grado es $k_A = 3$. El coeficiente de este nodo es $C(A) = 1/3$.	16
4.1.	Degree sequence para redes con $ V = \{10^3, 10^4, 10^5, 10^6\}$ y $m = 3$ a la derecha y $m = 2$ a la izquierda. Se muestra en escala log-log para apreciar el comportamiento de ley de potencias.	29
4.2.	Gráfico del clustering coefficient en función de los nodos para 60 redes simuladas en escala log-log. Se muestra también la función teórica 2.24, que es una función asintótica.	30
4.3.	Gráfico de SAPL en función del número de nodos de 20 redes BA en escala semilogarítmica. Mostramos también la función teórica 2.23.	30
4.4.	Histograma de frecuencias de la centralidad de un nodo, sobre los nodos de la red BA de parámetros $ V = 10000$ y $m = 3$.	31
4.5.	A la izquierda una gráfica de calor de la matriz de probabilidades 2.16. Esta matriz es muy dispersa ya que los elementos son cero, para la mayoría de elementos. Los valores relevantes se encuentran en los espacios de grado bajo $k \leq 25$. A la derecha se encuentra la gráfica del grado promedio de un nodo al que se conecta un nodo de grado k , también se muestra la constante que describe el comportamiento de una red no correlacionada.	32
4.6.	Gráficas de degree sequence para las redes de comunicación celular en escala log-log. En la gráfica superior izquierda, se grafican los procesos regulares de comunicación celular y en las gráficas derecha superior e inferiores, se encuentran los procesos asociados a enfermedades. Se muestran también los ajustes de las leyes de potencias asociadas a cada proceso con su respectivo color.	33

4.7.	Gráfico de dispersión de los coeficientes locales $C(k)$ en función de sus grados en escala semilogarítmica. En la figura superior izquierda se muestran los procesos de comunicación regulares y en la figura superior derecha y figuras inferiores se muestran los procesos asociados a enfermedades.	35
4.8.	Mapa de calor de la matriz de correlación para enlaces entre tipos de molécula de la red de comunicación celular 6. Se muestran las 4 categorías obtenidas.	36
4.9.	Histogramas de frecuencia de centralidad closeness normalizada 3.8 de cada una de las redes de comunicación celular.	37
4.10.	Gráfico de centralidad closeness local $\langle C'_{clo}(k) \rangle$ en función de sus grados en escala semilogarítmica. En la figura superior izquierda se muestran los procesos de comunicación normales y en las figuras restantes los procesos asociados a enfermedades.	38
4.11.	Mapa de calor de las matrices e_{ij} de correlación de grados de las redes de comunicación celular.	39
4.12.	Gráfica del promedio de los grados de nodos conectados a un nodo de grado k para las redes de comunicación celular.	40

Abstract

The structure of cell signaling networks determines the dynamics of physiological processes in living organisms, processes that belong both to regular functions and diseases. In the area of complex networks some metrics are used to determine the topological structure of networks, such as the degree sequence, the local clustering coefficient, the closeness centrality, and the degree-degree correlations. Here, we built a computational algorithm to compute all these metrics both to characterize cell signaling networks and to find structural differences between the networks corresponding to regular and disease processes. Our results show some differences between both kinds of networks.

Resumen

La estructura de las redes de comunicación celular determina la dinámica de los procesos fisiológicos presentes en los organismos vivos, tanto si los procesos corresponden a funciones regulares como a enfermedades. Medidas utilizadas en el campo de redes complejas, como degree sequence, clustering coefficient, local clustering coefficient, closeness centrality y degree degree correlation, caracterizan la estructura de la red. Aquí, construimos un algoritmo computacional que calcula todas estas medidas con el fin de encontrar diferencias estructurales entre redes de comunicación celular asociados a procesos regulares y de enfermedades. Encontramos estas diferencias estructurales entre ambos tipos de procesos de comunicación celular en las medidas utilizadas.

Capítulo 1

INTRODUCCIÓN

1.1. Redes de comunicación celular

El término ‘comunicación celular’ se utiliza para nombrar a los procesos mediante los cuales las células se comunican con su entorno. Las células reciben señales externas a estas, llamadas estímulos, procesan las señales mediante reacciones entre los elementos internos de la célula y emiten una señal de respuesta. Este tipo de procesos también se conocen como transducción de señales o comunicación transmembranal.

Los estudios sobre la comunicación celular iniciaron con el descubrimiento de las hormonas. Las hormonas son proteínas complejas que alteran el comportamiento de las funciones de las células, produciendo una respuesta excitada (aceleración del proceso) o inhibida (disminución o anulación de la velocidad del proceso)[1]. Estos estudios iniciaron el área de conocimiento que actualmente investiga la comunicación celular.

Los procesos de comunicación celular se pueden dividir en tres etapas: recepción de un estímulo, transducción de la señal y la respuesta. Este proceso se da mediante una secuencia de interacciones o reacciones entre los elementos celulares (moléculas y biomoléculas[¶]). La secuencia de interacciones en cadena es la ruta por la cual se transmite el mensaje. Esta ruta es conocida como vía de comunicación.

Las moléculas en la superficie de la célula, llamadas receptores, reciben la señal y la transmiten hacia las moléculas en el interior de la célula. En el interior de la célula se produce la etapa de transducción. En esta etapa las moléculas modifican o alteran otras moléculas en una cadena de reacciones. En esta etapa también es usual que se produzcan múltiples bifurcaciones de la señal. Este fenómeno se da cuando las moléculas interactúan con múltiples elementos en cada paso de la cadena[2].

Una vez realizado el proceso de transducción de la señal, se obtiene la respuesta. La respuesta celular es, básicamente, cualquier actividad realizada por la célula. Entre estas respuestas se incluyen procesos regulatorios y expresiones de genes. Estos últimos son los encargados de producir proteínas necesarias para el funcionamiento normal de la célula[2].

A continuación, presentamos un ejemplo de comunicación celular llamado transporte vesicular. Este es un proceso por el cual la célula secreta moléculas como respuesta. El proceso

[¶]Compuestos químicos orgánicos propios de los organismos vivos que se encuentran formados principalmente por cadenas de carbono e hidrógeno y otros elementos como el azufre, nitrógeno, oxígeno y fósforo. Las biomoléculas incluyen: lípidos, carbohidratos, proteínas y nucleótidos.

comienza con el estímulo del receptor **fosfolípido C** que hidroliza (reacción química que incluye moléculas de agua) la molécula de fosfato **PIP2** liberando una molécula de diglicerina que activa las proteínas cinasa **C PKC** e **IP3**. Estas movilizan el ion Ca^{2+} , que produce el fosfato **PIP3**. Esta molécula es la respuesta para este proceso que es un caso de transporte vesicular, proceso por el cual la célula secreta moléculas[1].

Los procesos de comunicación poseen dos características importantes: múltiples receptores para múltiples estímulos y la amplificación de la señal. Debido a estas características, existen múltiples vías por las cuales una señal produce una respuesta o, también, distintos estímulos producen una respuesta. Estas múltiples vías de comunicación se conectan entre sí, formando una estructura de red. Por ello, dichos procesos en la actualidad se conocen como redes de comunicación celular[1, 2].

La cantidad de elementos e interacciones presentes de los procesos de comunicación celular se ha incrementado con los años. Esto se debe al avance de las técnicas experimentales para detección de los elementos y a un entendimiento más profundo de estos procesos.

Por mencionar un ejemplo, el ciclo de Krebs, que se desarrolla en la mitocondria de la célula, es una cadena con 12 moléculas y 13 interacciones. En 2005, Albert R.[3] mencionó que la red de comunicación celular más grande hasta ese tiempo, poseía 1279 interacciones entre 545 elementos. Actualmente se puede hallar en sitios especializados de redes de comunicación redes de cerca de 15000 biomoléculas con 700000 interacciones, aproximadamente 30 veces más que hace 17 años.

Se ha visto que muchos de los procesos con un gran número de interacciones están relacionados con enfermedades o cáncer. Esto debido a la gran cantidad de investigación de estos procesos en áreas de ciencias médicas, y a la disponibilidad de muestras para estudiarlos[4, 5].

1.2. Relevancia biológica del estudio de redes de comunicación celular

Las respuestas de los procesos de comunicación celular en algunos casos se vuelven estímulos para otros. Por esta razón, varios procesos se concatenan aumentando la complejidad de estos. El resultado de miles de procesos celulares simultáneos resulta en las funciones necesarias para la supervivencia de un organismo vivo. Bajo esta perspectiva, estudiar las redes de comunicación celular es, en esencia, estudiar los procesos de la vida[5].

Estudios en el campo de comunicación celular[4, 5] resaltan que características de las respuestas, como los tiempos de respuesta y la intensidad[‡], se relacionan con la particular estructura que forman las conexión en las redes.

Para recalcar la relevancia de la estructura de una red, podemos tomar como ejemplo a las vías de comunicación terrestre de una ciudad (calles, autopistas) que conectan domicilios con sitios estratégicos de la ciudad, como trabajos, instituciones educativas, centros médicos, etc. Para establecer estrategias que permitan mejorar el flujo de automóviles, es necesario conocer el estado de las vías de acceso.

[‡]Ya que las respuestas difieren para cada proceso celular, la intensidad de la respuesta hace referencia a la cantidad de elementos producidos como iones, hormonas, proteínas, genes o energía según sea el caso.

Para saber qué vías son funcionales y qué rutas son óptimas, es útil conocer condiciones como: cuáles son las vías más rápidas, las menos utilizadas, conocer qué tantas opciones o vías alternas se pueden tomar para alcanzar cierto destino. Así, podemos determinar qué sitios de la ciudad son más concurridos o cuáles se hallan más accesibles. También se puede hallar qué sitios se encuentran más centrales para la mayoría de domicilios y cuáles se encuentran en los límites de la ciudad.

De manera similar, en los procesos de comunicación celular, extraer información sobre la estructura de la red permite tener un mejor entendimiento de los procesos y funciones biológicas subyacentes.

1.3. Análisis de la estructura de una red

Una red, llamada grafo en el área de matemática discreta y red compleja en física, es un objeto matemático que posee dos tipos de elementos básicos. El primero es un conjunto contable de puntos llamados vértices o nodos. El segundo es un conjunto de segmentos que unen dos vértices. A estos segmentos se les conoce como aristas, ejes o enlaces ((i, j) es la arista que conecta los nodos i y j). En el caso de los procesos de comunicación celular, los nodos representan a las moléculas del proceso y las aristas son las reacciones entre estas biomoléculas[6].

En la figura 1.1* se muestra la representación de una porción de un proceso de comunicación celular. En la parte superior izquierda se muestra el esquema gráfico del proceso. A la derecha de este se encuentra el conjunto de nodos. Etiquetamos a cada una de las moléculas del proceso con un número natural que indica el nodo asociado. Se representan las reacciones entre las biomoléculas participantes como las aristas de la red de forma gráfica en la parte inferior. Así, cada una de las aristas presentes en la red se muestra como un segmento que une dos vértices. Tomemos, por ejemplo, el segmento que conecta los nodos 19 y 20 como se observa en el gráfico. Este segmento simboliza la arista $(19, 20)$ y representa la interacción entre el segundo mensajero ciclo aminofosfato **cAMP** (nodo 19) con la proteína cinasa A **PKA**(nodo 20) mediante un proceso llamado activación.

El análisis de la estructura de redes se basa en calcular sus medidas topológicas. Algunas de estas medidas se relacionan con el análisis de caminos, grado de conectividad, correlaciones de las conexiones, etc. Estas medidas caracterizan la estructura de la red y se han estudiado formalmente por áreas de matemática discreta y sistemas complejos.

1.4. Medidas topológicas

Un camino en una red se define como una secuencia alternada de nodos y aristas por las cuáles un caminante ficticio puede llegar desde un nodo i hasta un nodo j atravesando las aristas y nodos de la secuencia consecutivamente. Un esquema de camino se muestra en la figura 1.2. Nos enfocaremos en caminos, llamados caminos simples, que tienen la característica de que los nodos contenidos en los caminos no se repiten. Se debe aclarar que, en general, existen múltiples caminos entre dos nodos[6].

Se define la longitud de un camino como el número de aristas que este posee (métrica del taxista). El camino de la figura 1.2, por ejemplo, tiene una longitud de 4. En las redes de comunicación celular la longitud de un camino representa cuántas reacciones hay en una vía

*La imagen del esquema gráfico de la red de comunicación celular fue tomada de Azeloglu(2015)[4]

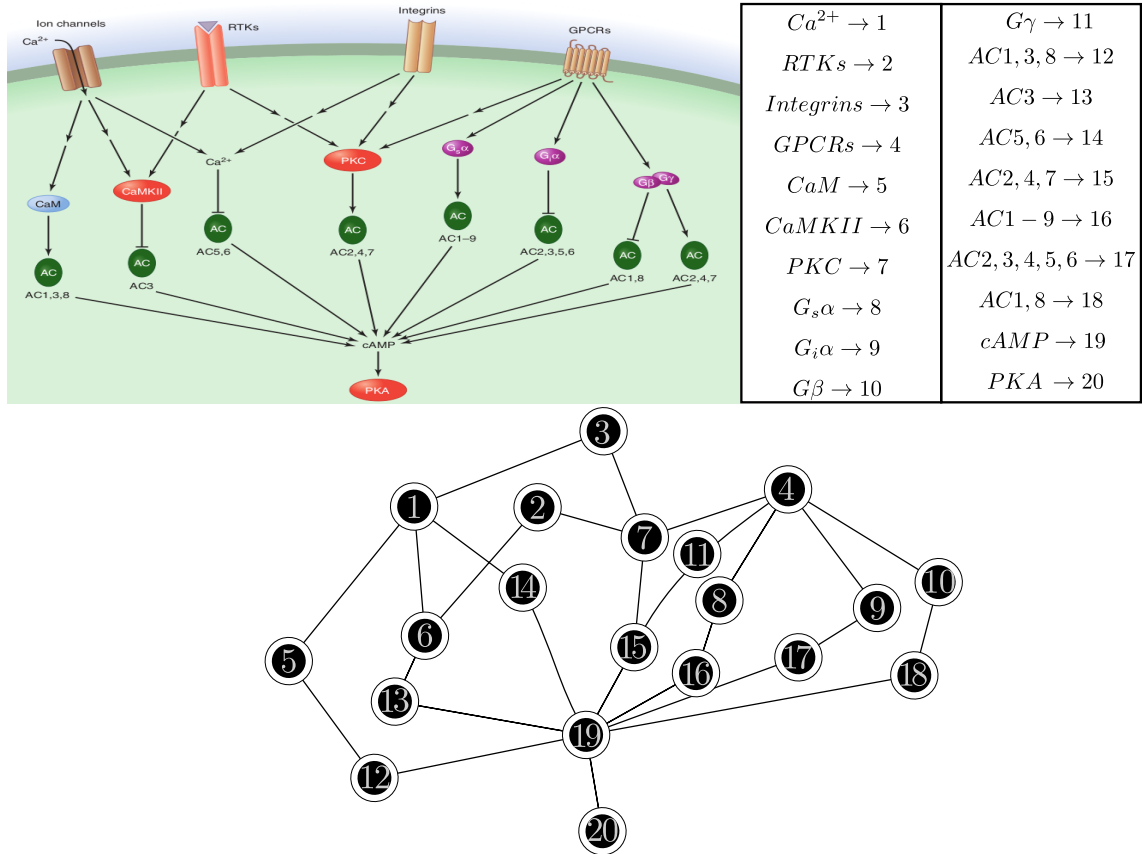


Figura 1.1: En la figura mostramos un fragmento de una red de transducción de señales. Dicho fragmento es el encargado de la recepción de señales en la membrana por diferentes tipos de receptores. Por interacción electrostática mediante el ión Ca^{2+} , **rTKS** que recolecta señales producidas por hormonas. Los integrins se encargan de la recepción de señales mediante la adhesión de lípidos, los **GPCRs** también reciben señales por adhesión pero de proteínas y concatenan a estas con proteínas G. Este proceso después de señales intermedias, mediadas principalmente por isoformas de adenil ciclasa **AC** que interaccionan con el segundo mensajero **cAMP** el cuál cumple el rol de coleccionar todas las señales y regularlas para transmitir las hacia otros elementos intracelulares. Se muestra también la abstracción de la red de comunicación celular a una red compleja.

de comunicación.

El **SAPL**(shortest average path length) es el valor promedio de las longitudes de los caminos con menor longitud entre todos los pares de nodos de la red. Este promedio se calcula si existe al menos un camino que conecte cada par de nodos. Esta medida topológica nos revela cuántas reacciones en promedio suceden en todos los procesos "ligados" de comunicación celular.

El grado de cada arista se define como el número de aristas a las que un nodo está conectado. El histograma de grados, llamado degree sequence, es una medida que indica la probabilidad p_k de que al escoger aleatoriamente un nodo en la red, este tenga un grado k . En muchas redes de comunicación celular, este histograma se puede aproximar con una ley de potencias[3]. Este comportamiento revela la presencia de nodos con una alta conectividad llamados **hubs**. En las redes de comunicación celular los nodos hubs son las moléculas que intervienen en muchas de las reacciones de varios procesos.

Se define el *clustering coefficient* $C(A)$, o coeficiente de agrupamiento, para un nodo de la red A , como la razón entre el número de triángulos con vértice A (en la figura 1.2 se muestra el

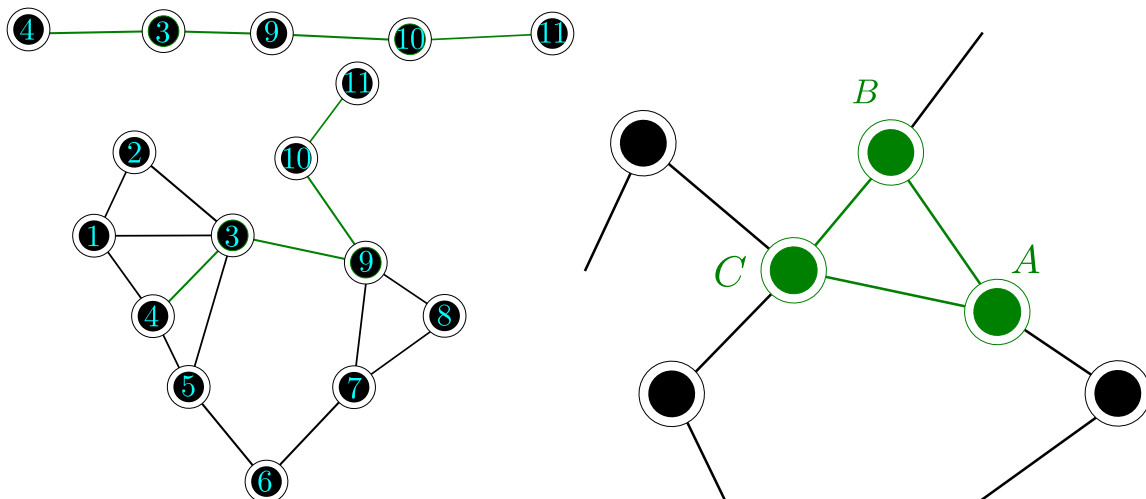


Figura 1.2: A la izquierda esquema de uno de los caminos más cortos entre los nodos 4 y 11 de la red, el camino pasa a través de los nodos 3, 9 y 10 en ese orden para conectar los nodos 4 y 11. A la derecha se muestra el triángulo $A - B - C$ formado por estos vértices y sus aristas correspondientes. El nodo A tiene 3 aristas conectadas a él, por lo cual su grado es $k_A = 3$. El coeficiente de este nodo es $C(A) = 1/3$.

triángulo de vértices A , B y C) sobre $\frac{1}{2}k_A(k_A - 1)$, con k_A el grado del nodo A . El *clustering coefficient* de la red se define como el valor promedio de los coeficientes de los nodos en la red. Este indicador es una medida de la transitividad entre nodos y también nos permite analizar la densidad de aristas en ciertas zonas de la red[6, 7]. Estudios[3] mencionan que las redes biológicas que poseen altos coeficientes $C(k)$ en función del grado son capaces de desempeñar múltiples tareas.

Otra medida topológica es la correlación de grados. Esta medida se define como una función de dos variables (k, k') y es la razón entre el número de aristas que enlazan un nodo de grado k con un nodo de grado k' y el total de aristas de la red. Esta medida nos da información acerca de si los nodos tienden a enlazarse con nodos de grado similar o diferente. Las redes de comunicación celular tienden a poseer un comportamiento ‘disortativo’, el cuál dice que los nodos con grado alto tienden a enlazarse con nodos de grado bajo[6].

La centralidad es una medida que se define para cada nodo de la red y nos proporciona información sobre los nodos “más importantes” de la red. Ma H. et al.[8] encontró resultados similares al analizar varias medidas de centralidad en redes biológicas. Se encontró que las moléculas con un valor alto de centralidad son importantes para mantener la conectividad y estabilidad de la red.

En este trabajo realizamos una primera descripción exploratoria de la topología de redes de comunicación celular. Para estimar la centralidad de los nodos en estas redes es suficiente usar una medida estándar de centralidad, ya que no buscamos precisión. Aquí, decidimos caracterizar esta medida mediante la centralidad *closeness* por su cálculo más eficiente[9], en comparación con otras medidas. Esta medida se define para un nodo i como el inverso de la suma de las longitudes de camino mínimas entre el nodo i y el resto de nodos de la red. Esta medida indica qué tan cercano, con respecto a longitudes de camino más cortas, se encuentra un nodo de los demás.

1.5. Objetivo

El objetivo de este proyecto es caracterizar la estructura topológica de varias redes de comunicación celular para extraer información que se pueda relacionar con propiedades de los procesos. También buscamos comparar los resultados obtenidos de redes de procesos naturales con redes de procesos asociados a enfermedades y analizar si hay diferencia entre estos a nivel topológico.

Al poseer estas redes una gran cantidad de elementos interactuantes es necesario realizar los cálculos de las medidas topológicas y estadísticas mediante métodos computacionales. Se diseñará varios algoritmos que puedan calcular las medidas descritas (SAPL, CC, degree sequence, correlaciones de grado y centralidad closeness) de una red general y así aplicarlos sobre redes de comunicación celular para analizar estos indicadores.

Se validará la correcta ejecución de los algoritmos antes de aplicarlos sobre las redes de comunicación celular. Para esto, los ejecutaremos primero sobre una red ya conocida, la red Barabási-Albert, buscando reproducir los resultados.

Las redes serán obtenidas en bases de datos especializadas en este ámbito. Utilizaremos la base de datos NDEx. Este es un repositorio muy completo y confiable que agrupa la información de varias bases de datos de procesos celulares y genéticos. Entre las redes del repositorio podemos encontrar redes de procesos regulares o sanos de transducción de señales y de procesos asociados a enfermedades. Obtendremos estos dos tipos de redes y calcularemos sus medidas para contrastar si existe diferencia en la estructura de estas.

Aquí presentamos un estudio exploratorio que analiza las medidas más usuales en teoría de redes. Nuestro estudio se restringirá al análisis de nueve redes de comunicación celular. Se calcularán las medidas topológicas básicas anteriormente descritas. Las medidas serán comparadas con el modelo teórico de Barabási-Albert y se intentará inferir características de los procesos en base a su estructura.

1.6. Outline

Este trabajo se encuentra dividido en 5 capítulos, empezando con el presente capítulo introductorio. El segundo capítulo contiene toda la teoría necesaria sobre redes y sus medidas topológicas. En el capítulo 3 se describirán los algoritmos creados y la metodología empleada en esta tesis. En el cuarto capítulo se expondrán los resultados obtenidos sobre las redes reales y la comparación con el modelo teórico. En el último capítulo se presentarán las conclusiones del proyecto.

Capítulo 2

MARCO TEÓRICO

2.1. Redes Complejas

2.1.1. Red simple indirecta

Una red simple e indirecta se define como $G = (V, E)$, donde V es el conjunto de nodos y E representa el conjunto de aristas. Sean $i, j \in V$ un par de nodos, el par $(i, j) = e$ es una arista si $e \in E$. Una red es indirecta si para cada arista $e_1 = (i, j) \in E$ existe una arista $e_2 = (j, i) \in E$ [7].

2.1.1.1. Primeros vecinos

Sea una red $G = (V, E)$. Se dice que un nodo j es primer vecino de i , si la arista (i, j) o (j, i) pertenecen a E . Se define $\kappa_1(i)$, el conjunto de los primeros vecinos de i :

$$\kappa_1(i) = \{j \in V : (j, i) \vee (i, j) \in E\}. \quad (2.1)$$

Se cumple $j \in \kappa_1(i) \Leftrightarrow i \in \kappa_1(j)$ entre los nodos $i, j \in V$, lo que indica una propiedad de reflexividad para este conjunto.

2.1.2. Degree

Degree o grado de un nodo se define como el número de aristas conectadas este[6].

Notamos $Card(x) = |x|$ para un conjunto x . Con la ecuación 2.1 el grado de un nodo $i \in V$ es $k_i = |\kappa_1(i)|$.

2.1.3. Componentes

Sea $G = (V, E)$ una red, $G_1 = (V_1, E_1)$ es una sub red de G si $V_1 \subseteq V$ y $E_1 \subseteq E$, se denota $G_1 \subseteq G$.

Una red es conexa si existe al menos un camino entre par de nodos de la red. El componente de una red, es una sub red $G_1 \subseteq G$ que es conexa. Se le llama componente gigante (*giant component*) si $G_1 = (V_1, E_1)$ y V_1 reúne la mayor parte de nodos de V [7].

2.2. Medidas Topológicas

En el siguiente apartado se define varias de las medidas topológicas usuales básicas que caracterizan la estructura de una red.

2.2.1. Degree Sequence

Se define p_k la fracción de nodos en la red que tienen grado k . También representa la probabilidad de que un nodo escogido aleatoriamente tenga grado k . Una gráfica de p_k en función de k para una red dada es equivalente a realizar el histograma de frecuencias relativas de los grados, el *degree sequence* de la red[6].

Se define el conjunto de nodos que poseen grado k :

$$N_1(k) = \{i \in V : |\kappa_1(i)| = k\}. \quad (2.2)$$

Entonces, se calcula $p_k = |N_1(k)|/|V|$.

2.2.2. Clustering Coefficient (CC)

Sea $G' = (V', E')$ una sub red conexa de $G = (V, E)$, tal que $|V'| = 3$. A G' se le llama triple conectado. Si dos de los nodos no se encuentran conectados entre sí, este se le llama triple abierto. Si hay al menos una arista entre cada par de nodos se le dice triple cerrado. A los triples cerrados también se les llama triángulos. Definimos el conjunto de los triángulos centrados en un nodo i :

$$\Delta(i) = \{(i, j, k) \in V^3 : j \in \kappa_1(i) \wedge k \in \kappa_1(i)\}. \quad (2.3)$$

Si $t = (i, j, k) \in V^3$ y $j \notin \kappa_1(i)$ para j y k vecinos de i , entonces t es un triple abierto centrado en i . Si el nodo i tiene grado k_i , existen $\frac{1}{2}k_i(k_i - 1)$ triples centrados en i , para $k_i \geq 2$ o no hay suficientes vecinos para formar el triple.

Se define el clustering coefficient de un nodo i como:

$$C(i) = \frac{\text{número de triángulos centrados en } i}{\text{número de triples abiertos centrados en } i} = \frac{|\Delta(i)|}{\frac{1}{2}k_i(k_i - 1)}. \quad (2.4)$$

El clustering coefficient de la red G se define como el promedio de los coeficientes de cada nodo[6].

$$CC = \frac{1}{|V|} \sum_{i \in V} C(i). \quad (2.5)$$

2.2.3. Tomografía de redes

Este método se basa en examinar la estructura local de la red. Se escoge un nodo en un componente de la red, al que se le llama nodo raíz. A este nodo se le asigna la capa 0. Se busca todos los nodos enlazados a este y se agrupan en la capa número 1. En la capa 2 se agrupan todos los nodos que se encuentran enlazados a los nodos de la capa 1 y que no se encuentren en capas anteriores. Este proceso se realiza iterativamente hasta asociar a todos los nodos del componente, donde está el nodo raíz, con una capa[10].

2.2.4. Vecinos de orden superior

Siguiendo la metodología de tomografía de redes, tomando el nodo raíz i , la capa 0 es $\kappa_0(i) = \{i\}$. La capa 1 representa el conjunto de los primeros vecinos de i $\kappa_1(i)$ de la ecuación 2.1. El conjunto de los nodos en la capa 2 es:

$$\kappa_2(i) = \{j \in V : [(j, k) \vee (k, j) \in E \forall k \in \kappa_1(i)] \wedge [j \notin \kappa_1(i) \vee \kappa_0(i)]\}. \quad (2.6)$$

A los nodos en este conjunto también se les llama segundos vecinos de i . La capa de orden l se forma en base a las anteriores:

$$\kappa_l(i) = \{j \in V : [(j, k) \vee (k, j) \in E \forall k \in \kappa_{l-1}(i)] \wedge [j \notin \kappa_m(i) \forall 0 \leq m \leq l-1]\}. \quad (2.7)$$

Para dos nodos se cumple la reflexividad $i \in \kappa_l(j) \Leftrightarrow j \in \kappa_l(i)$, con el mismo orden de capa.

Si la cantidad de nodos $|V|$ de la red es finita, existe un l_{m_i} orden de capa máximo para cada nodo raíz i en la red.

2.2.5. Longitud de camino mínima

El camino más corto entre dos nodos se le conoce como geodésica. En general, pueden existir múltiples geodésicas entre un par de nodos. Si no existe un camino entre dos nodos la longitud de camino se dice infinita.

Sea $G = (V, E)$ una red conexa e indirecta y $L(i, j)$ la longitud de una geodésica entre los nodos $i, j \in V$. Entonces se cumple la proposición:

$$i \in \kappa_l(j) \Leftrightarrow l = L(i, j), \quad (2.8)$$

y el SAPL es:

$$\bar{l} = \frac{1}{\frac{1}{2}n(n-1)} \sum_{j>i} L(i, j). \quad (2.9)$$

Para redes no conexas $\bar{l} = \infty$. Por esta razón se suele trabajar el SAPL en cada componente.

2.2.6. Excentricidad

Se define la excentricidad de un nodo i como la mayor de las longitudes de las geodésicas $L(i, j)$, siendo j un nodo cualquiera del componente $G(i)$ donde se encuentra i .

$$\epsilon(i) = \max_{j \in V(i)} (L(i, j)). \quad (2.10)$$

Si la red es conexa e indirecta, la excentricidad es $\epsilon(i) = l_{m_i}$, el orden máximo de la capa para el nodo raíz i .

2.2.7. Diámetro

El diámetro de una red se define como la máxima longitud de las geodésicas entre los pares de nodos de la red[7].

$$D = \max_{i, j \in V} (L(i, j)). \quad (2.11)$$

En función de las excentricidades, el diámetro se calcula como:

$$D = \max_{i \in V} (\epsilon(i)). \quad (2.12)$$

2.2.8. Radio

El radio de una red se define como la mínima de las excentricidades de los nodos en la red:

$$R = \min_{i \in V} (\epsilon(i)). \quad (2.13)$$

2.2.9. Closeness Centrality

La centralidad de un nodo $i \in V$ se define como:

$$C_{clo}(i) = \left(\sum_{j \in V} L(i, j) \right)^{-1}, \quad (2.14)$$

2.2.10. Correlación

Si profundizamos un poco en la estadística de las redes, podemos preguntarnos qué tipo de nodos se unen entre sí. Se puede calcular esta ‘elección’ de emparejamiento entre nodos que poseen una de las características del conjunto \hat{A} mediante una función de dos variables $f : E \rightarrow A \times A$. f toma una arista de la red $(i, j) \in E$ y relaciona a los nodos i, j con las características $a_i, a_j \in A$ respectivamente. Así, $f[(i, j)] = (c_i, c_j)$ [6].

Dado el conjunto de características A , se define el conjunto de aristas que enlazan dos nodos con características a_1, a_2 :

$$N(a_1, a_2) = \{e \in E : f(e) = (a_1, a_2)\} \quad (2.15)$$

Sea $E_{a_1, a_2} = |N(a_1, a_2)|$ el número de ejes en una red que conecta nodos con la característica a_1 con nodos de característica a_2 , \hat{E} es la matriz que contiene a los elementos E_{a_i, a_j} . Se define la matriz de correlación entre nodos:

$$\hat{e} = \frac{\hat{E}}{|\hat{E}|}, \quad (2.16)$$

2.2.10.1. Degree degree correlation

Si el conjunto de características es k el conjunto de grados de los nodos de la red, $f[(i, j)] = (k_i, k_j)$ con k_i y k_j los grados de los nodos i y j respectivamente. Los elementos de la matriz \hat{e} representan la probabilidad de que al elegir aleatoriamente una arista de la red, esta conecte a nodos con grado i y j .

Con la matriz \hat{e} se puede calcular el grado medio $\langle K \rangle$ de un nodo conectado a un nodo de grado k_1 :

$$\langle K \rangle(k_1) = \sum_{k_2} k_2 P(k_2 | k_1), \quad (2.17)$$

con $P(k_2 | k_1)$ la probabilidad condicional de hallar una arista con un nodo de grado k_2 en un extremo dado que al otro extremo el nodo tiene grado k_1 .

Se define q_k , como la probabilidad de hallar una arista que se conecta a un nodo de grado k . Esta se relaciona con p_k la probabilidad de escoger un nodo en la red de grado k :

$$q_k = \frac{k p_k}{\langle k \rangle}. \quad (2.18)$$

También se relaciona con la matriz de correlación entre nodos $q_k = \sum_j e_{jk}$.

2.2.10.2. Assortative mixing

Newman[11] menciona que varias redes, como redes sociales, muestran ‘assortative mixing’ o assortatividad en sus grados, es decir, la preferencia de nodos de alto grado de conectarse con otros nodos de alto grado. Por otro lado, tipos de red, como redes de internet y redes biológicas, muestran que nodos de alto grado se conectan preferentemente con nodos de grado bajo, esta propiedad se refiere como disortatividad[12].

En una red que no posea una tendencia assortativa o disortativa, los elementos de la matriz de correlación tienen la forma $e_{ij} = q_i q_j$. Este es el comportamiento esperado en redes aleatorias como el modelo de Erdős-Rényi[11, 13]. Se define un coeficiente de correlación r :

$$r = \frac{1}{\sigma^2} \sum_{jk} jk(e_{jk} - q_j q_k). \quad (2.19)$$

Notamos que si el comportamiento es no correlacionado $r = 0$. Para un comportamiento perfectamente assortativo, $e_{ij} = \delta_{ij} q_j$, el numerador de la ecuación 2.19 toma el valor de σ^2 :

$$\sigma^2 = \sum_k k^2 q_k - \left(\sum_k k q_k \right)^2. \quad (2.20)$$

En el caso de redes perfectamente disortativas $r = -1$. Se interpreta que una red es disortativa si $r < 0$ y assortativa si $r > 0$.

Para una red no correlacionada el grado medio de un nodo conectado a un nodo de grado k :

$$\langle K \rangle(k) = \frac{\langle k^2 \rangle}{\langle k \rangle}, \quad (2.21)$$

toma un valor constante. Para una red perfectamente assortativa $\langle K \rangle(k)$ 2.17 crece con respecto al grado, si es disortativa decrece con respecto a k [14].

2.2.11. Redes libres de escala

Las redes libres de escala o *Scale-free* son llamadas así porque su degree sequence es libre de escala. Esto significa que el degree sequence se puede ajustar a una ley de potencias de la forma $p_k \sim k^{-\gamma}$, donde γ es conocido como el exponente de grado.

2.2.12. Modelo de Barabási y Albert

En 1965 el físico Derek de Solla Price publicó uno de los estudios más antiguos de lo que hoy conocemos como redes libres de escala. Estudió una red de citas de papers científicos. Halló que el degree sequence de estas redes describen una ley de potencias. Años después explica este comportamiento en el degree sequence proponiendo que la cantidad de nuevas citas que un paper recibe se debe a la cantidad de citas que ya posee. Price le llamó ventaja acumulativa a este principio[6].

La ventaja acumulativa de Price, motivó el principio llamado *preferencial attachment* por Barabási y Albert[15]. Crearon el modelo Barabási-Albert (BA) siguiendo este principio. El modelo se basa en añadir progresivamente nodos a una red inicial. Cada nodo añadido se enlaza a m nodos de la red y la elección de estos nodos es aleatoria con una probabilidad proporcional a sus grados.

Al construir una red del modelo BA, en el límite de una red con infinitos nodos, se obtiene un degree sequence de la forma:

$$p_k = \frac{2m(m+1)}{k(k+1)(k+2)}. \quad (2.22)$$

Esta distribución, en el límite de $k \gg 1$, describe una ley de potencias $p_k \sim k^{-3}$ con exponente $\gamma = 3$ [6].

Bollobás B. et. al[16, 17], demostraron que el SAPL de una red de BA para $m \geq 2$ tiende asintóticamente a:

$$\bar{l} \sim \frac{\ln |V|}{\ln \ln |V|}. \quad (2.23)$$

Y el CC de una red de BA para $m \geq 1$ decrece en función del número de nodos:

$$CC \sim \frac{(\ln |V|)^2}{|V|}. \quad (2.24)$$

Capítulo 3

DATOS Y METODOLOGÍA

3.1. Datos

3.1.1. Plataforma NDEx

La plataforma NDEx[18] es un proyecto de código abierto dedicado al almacenamiento, manipulación y publicaciones de redes biológicas. Esta base de datos trabaja con otras bases del área como Pathway Commons, KEGG o Reactome. También proporciona un enlace directo a la interfaz de software libre Cytoscape para la visualización de redes.

Los archivos de datos se descargan de forma gratuita con extensión '.cx'. Este archivo es compatible con Cytoscape, sin embargo, para redes con gran cantidad de datos, la renderización gráfica de la red no es eficiente. Este tipo de archivos tiene un formato de lectura tipo JSON, un formato usual en páginas web.

Para extraer los datos que utilizamos en este proyecto utilizamos las librerías de Python `json` y `pandas` junto al código que se encuentra en el anexo 6.3.1. Extraemos dos tablas de datos con la siguiente estructura:

	@id	n		@id	s	t
1	1	SKY	1	1	2356	33
2	2	MAPK3	2	2	127	2800

Cuadro 3.1: Tabla de datos de un segmento de nodos a la izquierda y aristas a la derecha de la red de comunicación celular *Human gene regulatory network of mesothelioma* 3.1.3.4.

En este proyecto, que trabajamos sobre redes indirectas y no pesadas, utilizamos los datos que se muestran en la tabla 3.1. Los archivos en la base de datos poseen más información de las redes que las descritas, como pesos de aristas, tipo de interacciones o tipos de moléculas. Sin embargo, para el análisis que realizamos no utilizamos dichos datos.

3.1.2. Base de datos HGNC

La asociación HGNC es responsable de aprobar los nombres y símbolos únicos de proteínas, ncRNA, genes y pseudogenes, para permitir una comunicación científica clara y sin ambigüedad[19]. Esta base de datos posee una extensa información sobre proteínas y genes que incluye un nombre común, identificador alfanumérico, abreviación, nombre científico y demás símbolos aprobados.

En ocasiones se renombran las moléculas de la base, por esta razón también se guarda la información de nombres antiguos y también de alias que se usan en el campo. Esta base de datos se puede descargar y se encuentra organizada en forma de tablas, útil para la consulta de grandes volúmenes de datos.

En este trabajo utilizamos la base de datos HGNC para encontrar el tipo de moléculas que componen la red 3.1.3.6 y demostramos que es una red bipartita.

3.1.3. Descripción de las redes

En esta sub sección describimos las redes que obtuvimos de las bases de datos y después de extraer los datos necesarios para formar las redes, ejecutamos los algoritmos que caracterizan la estructura topológica.

3.1.3.1. *Human Phosphorylation Pathways*

SIGnaling Network Open Resource SIGNOR fue desarrollada para apoyar y almacenar la evidencia experimental de relaciones causales entre entidades biológicas a nivel molecular, principalmente sobre comunicación celular. La información recopilada en la base de datos puede ser representada como una red directa con pesos[20]. La red contiene 2225 nodos y 6051 aristas. En adelante nos referiremos a la red como red de comunicación celular 1 (CC1). Esta red podemos encontrarla en SIGNOR[21].

3.1.3.2. *NCI PID Complete Interactions*

Red de interacción molecular de procesos regulatorios a nivel celular. Estos eventos, clave en el funcionamiento de una célula, poseen una estructura de redes de comunicación. Los datos para formar la red se tomaron de la base Pathway Interaction Database[22]. La red está formada por 2794 nodos y 25296 aristas. En este trabajo nos referimos a esta red como red de comunicación celular 2 (CC2). Obtuvimos la red de la base de datos NDEx[23].

3.1.3.3. *BioPlex-3-HEK293T*

Red de funcionamiento y comunicación celular en células de tipo **HEK293T**. Los genes y proteínas interactuantes se obtuvieron mediante técnicas de purificación por afinidad y espectrometría de masas. En total se obtuvieron 14586 proteínas interactuantes y 127732 interacciones que conforman la red[24]. Esta red la descargamos de la base de datos NDEx[25]. Nos referimos a la red como red de comunicación celular 3 (CC3).

3.1.3.4. *Human gene regulatory network of mesothelioma*

Mesotelioma es un raro tipo de cáncer humano el cual emerge en las células mesoteliales que cubren ciertas partes del cuerpo. Uno de los sitios más comunes es en la pleura. La red es generada por estudios TCGA RNA-seq de mesotelioma usando la base GeneRep[26]. La red consta de 17490 nodos y 631556 aristas. Descargamos la red de la base de datos NDEx[27]. En este estudio nos referiremos a esta red como red de comunicación celular 4 (CC4).

3.1.3.5. *Human gene regulatory network of adrenocortical carcinoma*

Cáncer adrenocortical es una rara enfermedad que es muy difícil de pronosticar. Los progresos para hallar biomarcadores genéticos para el diagnóstico y tratamiento se enfocan en identificar genes asociados a ciertas características médicas en una red compleja[28, 26]. La red se generó mediante estudios TCGA RNA-seq. La red se compone de 16859 nodos y 713649 aristas.

Descargamos la red de la base de datos NDEx[29]. En este estudio nos referimos a esta red como red de comunicación celular 5 (CC5).

3.1.3.6. *The basal gene network in the involvement of respiratory viruses infection including SARS-CoV-2*

Se presenta una red[30] de procesos regulatorios en respuesta a SARS-CoV-2 y otros virus respiratorios usando un modelo de red Bayesiana. La red muestra que la señalización “interferon” gradualmente cambia a las cascadas subsecuentes de los procesos inflamatorios-citoscánicos. La red contiene 121264 aristas y 15258 nodos. Descargamos la red de la base de datos NDEx[31]. En este estudio nos referimos a la red como red de comunicación celular 6 (CC6).

3.1.3.7. *Regulon HNSC Head and Neck Squamous Cell Carcinoma*

La red se construyó mediante el uso de ARACNe, un algoritmo que usa las expresiones e información de expedientes y perfiles médicos para diseñar redes de procesos regulatorios en células[26]. La red cuenta con 19566 nodos y 418066 interacciones entre biomoléculas. Descargamos esta red de la plataforma NDEx[32]. Nos referimos a la red como red de comunicación celular 7 (CC7).

3.1.3.8. *Human Gene Regulatory Network of Ovarian Serous Cystadenocarcinoma*

El Cistadenocarcinoma de ovarios es uno de los cánceres ginecológicos más malignos. La red asociada a los procesos celulares de este tipo de cáncer se desarrolló mediante TCGA RNA-seq[26]. La red posee 17893 nodos que se unen mediante 495894 aristas. Descargamos la red de la plataforma NDEx[33]. En este estudio nos referimos a la red como red de comunicación celular (CC8).

3.1.3.9. *Pathways Affected by Melanoma Genes*

La información biológica de esta red se desarrolló gracias a la MGDB (Melanoma Gene Database). Se estableció una red de genes en los procesos de células melánicas cancerígenas para el estudio del desarrollo a una fase de tumores[34]. La red posee 826 nodos y 2953 aristas. Descargamos la red de la plataforma NDEx[35]. En este estudio nos referimos a la red como red de comunicación celular 9 (CC9).

3.2. Redes BA

Construimos la subrutina `BA_net`, anexos 6.1, para replicar redes tipo Barabási-Albert. Esta subrutina toma como argumentos el número de nodos iniciales n_0 , número de nodos finales n y número de aristas por nodo añadido m , como se explicó en 2.2.12. La red inicial es una red desconectada de n_0 nodos, donde utilizamos $n_0 = m$. Creamos m aristas entre el nodo $n_0 + 1$ y los n_0 nodos de la red inicial. Creamos un conjunto w_k , donde añadimos todos los nodos que unimos con una arista. Es decir, como creamos m aristas entre los nodos $1, 2, \dots, n_0$ y $n_0 + 1$, añadimos los nodos 1 hasta n_0 y m veces el nodo $n_0 + 1$ al conjunto w_k . El conjunto w_k contiene los nodos de la red y estos se repiten cuantas veces sea su grado.

A partir del nodo $n_0 + 2$ hasta n se realiza el proceso iterativamente. Se escogen aleatoriamente m nodos diferentes que se encuentren en w_k con la subrutina `sample`. Aquí estamos utilizando el criterio de enlace preferencial, porque al escoger un nodo i que se enlace al nuevo

nodo añadido de la red del conjunto w_k la probabilidad de que i sea escogido, depende del grado de i . Una vez escogidos los enlaces, se guarda la información de las nuevas aristas en cada paso y se agregan los nodos enlazados a w_k también.

La subrutina retorna el conjunto las aristas de la red. El número de aristas finales es $|E| = (n - n_0)m$.

3.3. Redes

3.3.1. Preparación de redes

Antes de calcular las medidas topológicas preparamos los ficheros que contienen las redes descritas anteriormente. Este proceso lo realizamos en el lenguaje de programación Python, el cual posee librerías que facilitan la lectura de la información y la extracción de los datos necesarios. Las subrutinas empleadas para este proceso se encuentran en la sección de Anexos 6.3.1.

Importamos los datos de los ficheros tipo ‘.cx’ con la subrutina `import_net` y retorna dos tablas de datos, la primera con la lista de nodos y sus respectivos nombres de las moléculas y la segunda con la lista de aristas.

En muchos casos las redes pueden contener aristas repetidas o aristas que unen un nodo consigo mismo. Ya que trabajamos con redes simples no direccionadas eliminamos este tipo de aristas de las redes, en el caso de haberlas, con la subrutina `filtering_edges`.

En algunas redes descargadas existen nodos aislados que no se encuentran unidos con ninguna arista. También es posible que la numeración de los nodos se salte algunos números. Para resolver estos problemas y que los algoritmos se puedan correr con mayor efectividad numeramos a los nodos de 0 hasta $|V| - 1$ con las subrutinas `di_nodesid` y `change_id`.

Después de los procesos anteriores, la subrutina `export_data` exporta dos ficheros llamados ‘red.r.dat’ y ‘nodes.dat’. Este es el formato de entrada para el programa que calcula de medidas topológicas.

3.3.2. Cálculo de medidas

En este trabajo utilizamos el método de tomografía de redes 2.2.3 y listas enlazadas 6.2.1 para el cálculo de las medidas topológicas. Las subrutinas utilizadas para este cálculo se encuentran en la sección de Anexos en la sección 6.2.2.5.

El análisis se concentra en el componente gigante de la red. Utilizamos la subrutina `components` para hallar el componente gigante a partir de un fichero que contiene las aristas de una red dada. En este algoritmo construimos la primera capa 2.1 de cada uno de los nodos a partir de las aristas de la red. Después escogemos aleatoriamente un nodo i de la red y construimos iterativamente desde la capa $\kappa_2(i)$ hasta la capa máxima $\kappa_{l_{m_i}}(i)$. Para la construcción de estas capas utilizamos la ecuación 2.7 de la forma:

$$\kappa_l(i) = \bigcup_{k \in \kappa_{l-1}(i)} \kappa_1(k) - \bigcup_{n < l} \kappa_n(i). \quad (3.1)$$

Una vez finalizada la construcción de las capas, obtenemos los nodos que pertenecen al componente de i :

$$V'(i) = \bigcup_{l \leq l_{m_i}} \kappa_l(i). \quad (3.2)$$

Si $V'(i)$ comprende la mayor parte de nodos de la red, hallamos el componente gigante $G' = (V', E')$. Aquí, E' son las aristas que conectan únicamente nodos de V' . Si $V'(i)$ comprende solo unos pocos nodos de la red, se repite el proceso escogiendo otro nodo. A partir de aquí, cuando nos referimos a la red $G = (V, E)$ hablamos del componente gigante.

Construimos las capas para cada uno de los nodos de la red siguiendo el proceso descrito en anteriores párrafos. Utilizamos la subrutina `construct_kapa` la cual exporta un array donde cada elemento elemento i del array es el conjunto de capas del nodo i .

Para el cálculo de longitudes de camino utilizamos la subrutina `caminos`. Encontramos la centralidad `closeness` 2.14 con el número de elementos de cada capa:

$$C_{clo}(i) = \left(\sum_{l=1}^{l_{m_i}} l |\kappa_l(i)| \right)^{-1}. \quad (3.3)$$

Una vez calculada esta medida, encontramos el SAPL 2.9 de la red:

$$\bar{l} = \frac{1}{|V|(|V| - 1)} \sum_{i \in V} \frac{1}{C_{clo}(i)}. \quad (3.4)$$

Se obtiene $C(i)$ de la ecuación 2.4 con la subrutina `clusteringc`. Se calcula el grado de los nodos contando el número de vecinos en la capa 1 para cada nodo con la subrutina `degree`.

Podemos normalizar a la centralidad $C_{clo}(i)$ para todos los nodos $i \in V$. La longitud mínima de camino $L(i, j)$ para $j \neq i$ como mínimo puede ser 1 en el caso de que i y j sean primeros vecinos. Como máximo la longitud puede ser el valor de la excentricidad del nodo i . La excentricidad más grande posible que puede poseer un nodo cualquiera en una red es $|V| - 1$, en el caso de que la red sea una cadena. Entonces se cumple la desigualdad:

$$1 \leq L(i, j) \leq |V| - 1 \quad \forall i \neq j \in V. \quad (3.5)$$

Sumamos sobre todos los nodos j de la red:

$$\sum_{j \neq i} 1 \leq \sum_{j \neq i} L(i, j) \leq \sum_{j \neq i} (|V| - 1) \quad \forall i \in V. \quad (3.6)$$

Tomamos el inverso y notamos que el término acotado entre las desigualdades es 2.14. Por tanto:

$$\frac{1}{|V|(|V| - 1)} \leq C_{clo}(i) \leq \frac{1}{|V|} \quad \forall i \in V. \quad (3.7)$$

Podemos acotar de forma general a la centralidad `closeness` para una red en función de su número de nodos. Definimos una medida normalizada:

$$C'_{clo}(i) = \frac{C_{clo}(i) - m}{M - m}, \quad (3.8)$$

con $m = \frac{1}{|V|(|V|-1)}$ y $M = \frac{1}{|V|}$. Ya que esta normalización es lineal, se preservan sus momentos estadísticos centrados y normalizados. Con esto compararemos la centralidad entre redes.

Capítulo 4

RESULTADOS Y DISCUSIÓN

4.1. Redes Barabási-Albert

Empezamos esta sección ejecutando los algoritmos para el cálculo de las medidas topológicas sobre redes de Barabási y Albert y validamos su correcto funcionamiento. Reproducimos los resultados conocidos de las redes Barabási y Albert descritos en el marco teórico.

Ejecutamos el cálculo del degree sequence sobre las redes BA. Elegimos cuatro redes con un número de nodos $|V| = \{10^3, 10^4, 10^5, 10^6\}$ con $m = 2$ y $m = 3$. Comparamos con la función teórica, dada por la ecuación 2.22.

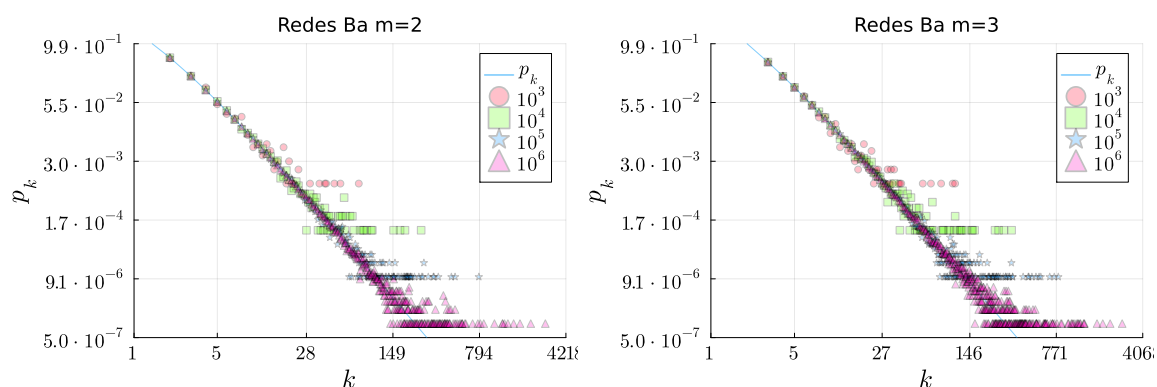


Figura 4.1: Degree sequence para redes con $|V| = \{10^3, 10^4, 10^5, 10^6\}$ y $m = 3$ a la derecha y $m = 2$ a la izquierda. Se muestra en escala log-log para apreciar el comportamiento de ley de potencias.

El parámetro m en la función de distribución de grados 2.22 no cambia el comportamiento de la pendiente en la gráfica 4.1, solo traslada a la función. Observamos que en las dos gráficas de m diferente las redes se ajustan a la ley de potencias con $\gamma = 3$. El ajuste es más confiable mientras $|V|$ crece. Esto es lo esperado, ya que la función teórica es un límite asintótico de $|V| \rightarrow \infty$.

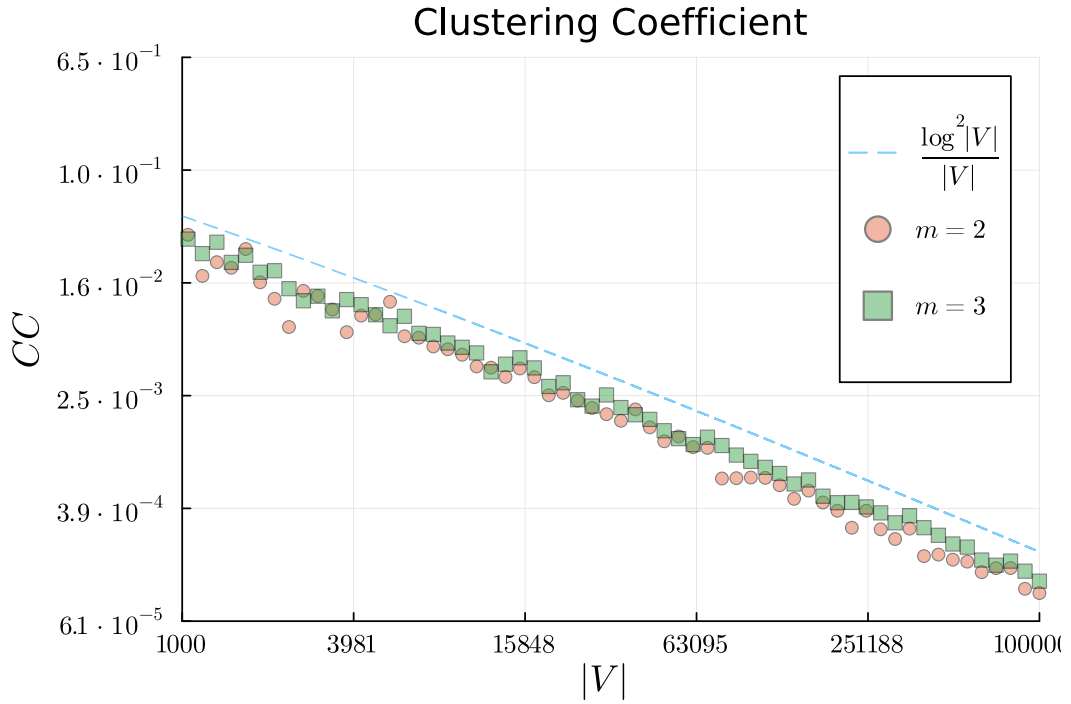


Figura 4.2: Gráfico del clustering coefficient en función de los nodos para 60 redes simuladas en escala log-log. Se muestra también la función teórica 2.24, que es una función asintótica.

En el gráfico 4.2 se observa el comportamiento decreciente del clustering coefficient de las redes conforme el número de nodos de la red crece. Notamos también que el comportamiento no es diferente para los valores de m analizados. Aquí también podemos observar que los valores tienden a la función teórica asintóticamente por lo que es normal que los datos no topen a la función.

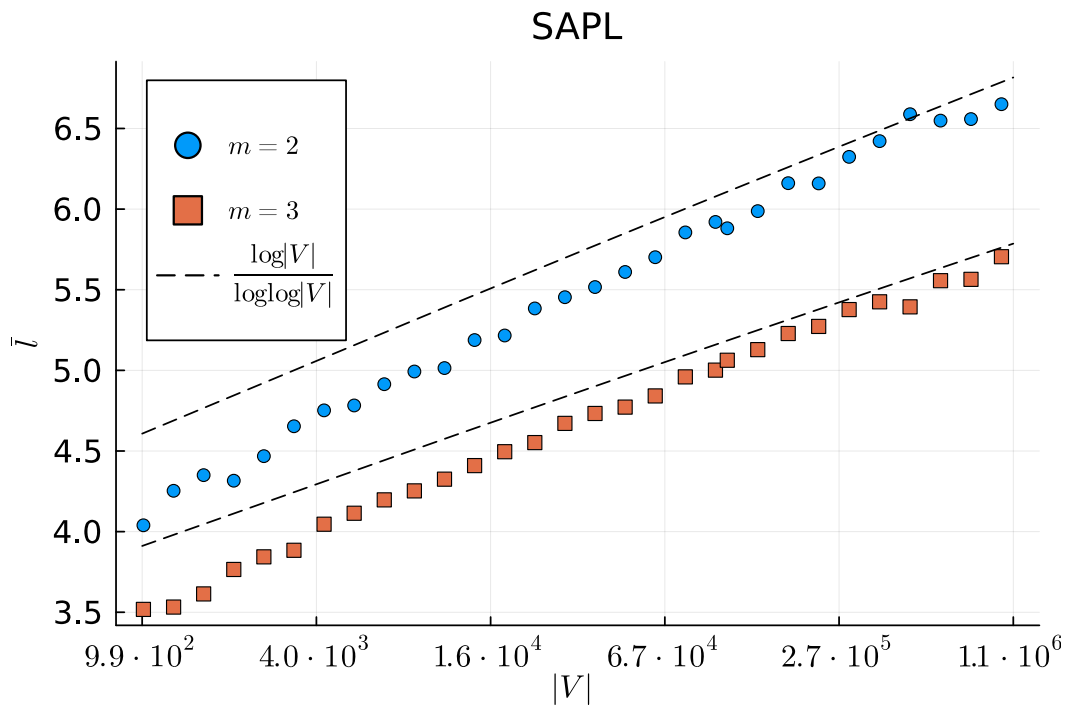


Figura 4.3: Gráfico de SAPL en función del número de nodos de 20 redes BA en escala semilogarítmica. Mostramos también la función teórica 2.23.

En el gráfico 4.3 notamos que el SAPL de las redes se acerca asintóticamente a la función teórica. Observamos también que para redes BA con el mismo número de nodos el SAPL disminuye para redes con m mayor.

En base al cálculo de estas tres medidas topológicas, podemos concluir que la implementación de los algoritmos descritos en el capítulo 3 es correcta.

Ejecutamos los algoritmos que calculan las medidas de centralidad closeness y la matriz de correlación entre nodos para comparar las características de las redes BA con el comportamiento en estas medidas de las redes de comunicación celular. Mostramos a continuación los resultados obtenidos.

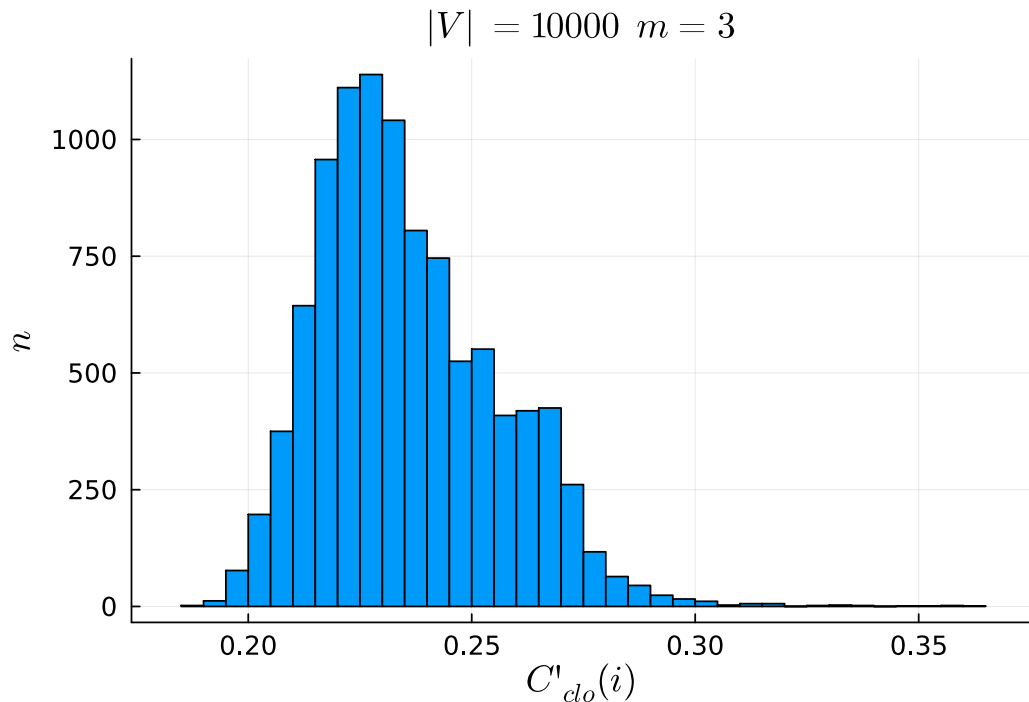


Figura 4.4: Histograma de frecuencias de la centralidad de un nodo, sobre los nodos de la red BA de parámetros $|V| = 10000$ y $m = 3$.

En la gráfica 4.4 mostramos el histograma de la centralidad closeness de los nodos de la red de BA de 10000 nodos y $m = 3$. Podemos notar que la mayoría de datos se encuentran agrupados alrededor de la media $\mu_1 = 0.237$. Observamos también que esta distribución es asimétrica hacia la izquierda con una cola hacia la derecha más larga que la de la izquierda.

Por la alta concentración de los datos alrededor de la media, concluimos que la mayoría de nodos en la red posee una centralidad similar. La asimetría de la distribución hacia la izquierda nos dice que hay un poco porcentaje de nodos que se encuentran en la periferia de la red.

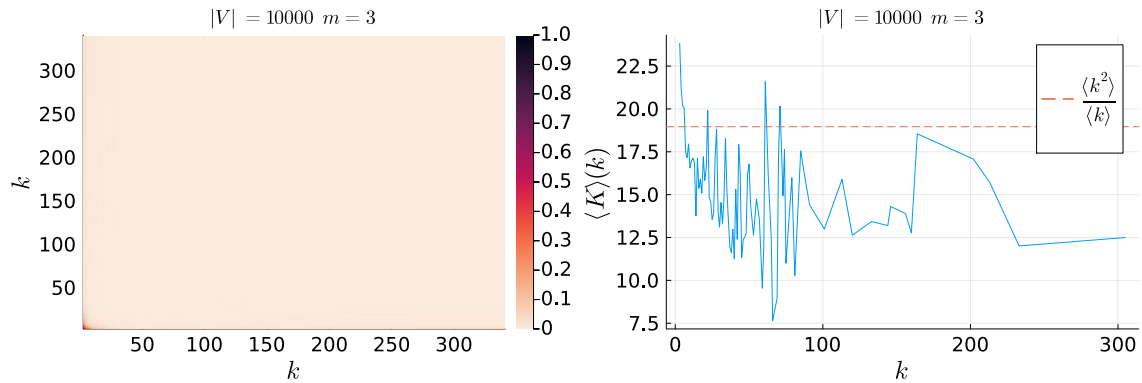


Figura 4.5: A la izquierda una gráfica de calor de la matriz de probabilidades 2.16. Esta matriz es muy dispersa ya que los elementos son cero, para la mayoría de elementos. Los valores relevantes se encuentran en los espacios de grado bajo $k \leq 25$. A la derecha se encuentra la gráfica del grado promedio de un nodo al que se conecta un nodo de grado k , también se muestra la constante que describe el comportamiento de una red no correlacionada.

La matriz de correlación entre grados e_{ij} nos indica que los nodos se encuentran estrechamente conectados con nodos de grado muy bajo, lo que se espera para este modelo. Los nodos de grado bajo, al contrario, se conectan con los nodos de mayor grado por lo cual esta matriz nos indica una tendencia disortativa.

El coeficiente de correlación de Newman 2.19 para esta red es $r = -0.044$. El valor negativo, pero cercano a cero, nos indica una tendencia ligeramente disortativa, como pudimos constatar en la matriz.

En la figura derecha de 4.5 se muestra una tendencia decreciente para nodos de grado bajo. El valor máximo que observamos es de $k \approx 25$. Un comportamiento esperado porque las redes BA poseen pocos nodos hub con alto grado, pero muchos nodos de bajo grado, por lo que en promedio resulta en un valor de $\langle K \rangle$ bajo.

4.2. Redes de comunicación celular

4.2.1. Degree sequence

Calculamos el degree sequence para cada proceso de comunicación celular y sus respectivas leyes de potencia:

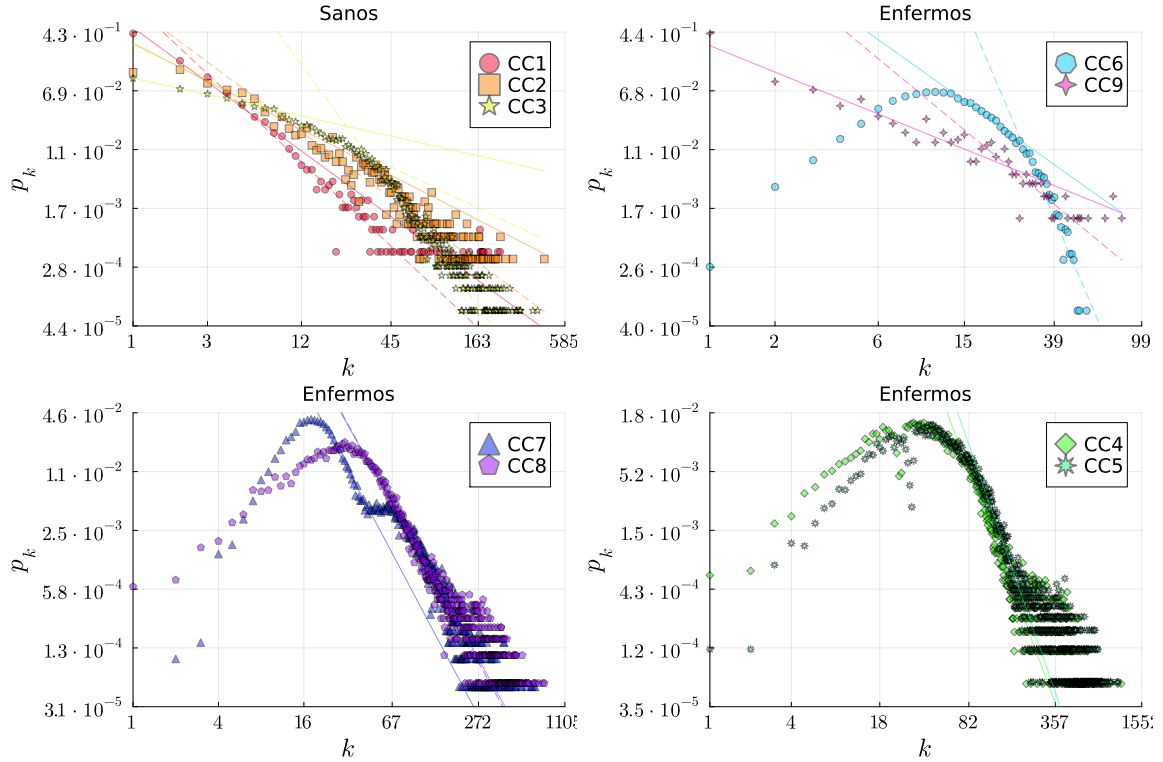


Figura 4.6: Gráficas de degree sequence para las redes de comunicación celular en escala log-log. En la gráfica superior izquierda, se grafican los procesos regulares de comunicación celular y en las gráficas derecha superior e inferiores, se encuentran los procesos asociados a enfermedades. Se muestran también los ajustes de las leyes de potencia asociadas a cada proceso con su respectivo color.

En cada uno de los procesos de la figura 4.6 se calcularon los ajustes mediante regresiones lineales para hallar los exponentes de grado. En algunos de los casos existen varias leyes de potencia que se solapan. Los exponentes de grado se muestran en la siguiente tabla:

ID	k	γ	ρ^2
1	[1, 10]	1.552	0.988
	[5, 50]	1.99	0.889
2	[2, 9]	1.077	0.817
	[6, 110]	1.57	0.86
3	[1, 8]	0.477	0.994
	[9, 30]	1.002	0.961
	[30, 100]	2.9	0.933
4	[60, 200]	3.351	0.938
5	[100, 220]	3.572	0.889
6	[13, 25]	2.108	0.979
	[24, 55]	6.969	0.914
7	[20, 50]	2.884	0.975
	[60, 180]	2.857	0.881
8	[36, 200]	2.739	0.953
9	[1, 14]	1.206	0.923
	[18, 50]	2.418	0.783

Cuadro 4.1: Exponentes de grado con su dominio de ajuste y su coeficiente de correlación lineal para cada una de las redes de comunicación celular.

Notamos que en todas las redes de procesos enfermos, salvo la red 7, hay una tendencia creciente para grados bajos, alcanza un máximo y después el una tendencia decreciente donde ajustamos las leyes de potencia. En los procesos sanos únicamente observamos las tendencias decrecientes.

Esta diferencia entre los procesos parece indicar que en los procesos sanos abundan las cadenas lineales, ya que la mayoría de nodos poseen un grado 2. También existe un alto porcentaje de nodos de grado ligeramente mayor a dos, esto parece mostrar que en general no existen muchas bifurcaciones en los procesos sanos. Por el contrario, en los procesos relacionados con enfermedades, los resultados pueden indicarnos que hay una mayor proporción de bifurcaciones que cadenas lineales.

Observamos en la tabla 4.1 que hay una buena correlación entre las leyes de potencia estimadas y los datos. Notamos también que en las redes de comunicación de procesos normales, los exponentes de grado son bajos y menores que el exponente de grado en el degree sequence de una red BA.

Para las redes de procesos enfermos, podemos notar que hay varios exponentes que son mayores que 3. Encontramos el mayor de los exponentes de grado en la red 6 con un valor de $\gamma = 6.969$. Este valor es mayor al doble del exponente en una red BA, lo que indica una caída muy rápida. Los valores altos de exponente de grado en las redes enfermas parecen indicarnos una menor proporción de nodos hub en comparación con los procesos sanos.

4.2.2. Clustering Coefficient

Calculamos el clustering coefficient de cada una de las redes de comunicación celular y comparamos con los valores de clustering coefficient de redes BA con un número de nodos y aristas similares a las redes de comunicación. Los resultados se muestran en la siguiente tabla:

ID	Comunicación C		BA		$\frac{\Delta CC}{CC_{ba}}$
	CC	δCC	CC	δCC	
1	0.115	0.239	0.017	0.064	5.797
2	0.538	0.33	0.028	0.026	18.22
3	0.116	0.195	0.007	0.013	14.534
4	0.09	0.064	0.018	0.007	4.003
5	0.087	0.062	0.021	0.008	3.168
6	0.137	0.079	0.007	0.014	18.513
7	0.036	0.039	0.011	0.008	2.304
8	0.141	0.104	0.014	0.008	8.77
9	0.0	0.0	0.042	0.071	1.0

Cuadro 4.2: Clustering Coefficient de las redes de comunicación celular con su desviación. Se muestran también los valores de clustering coefficient en redes BA que poseen aproximadamente el mismo número de nodos y aristas que las redes de comunicación celular.

Reproducimos los resultados del clustering coefficient de redes biológicas[4, 7, 5]. Los valores del clustering coefficient de redes de comunicación son mucho mayores que las redes BA de tamaño similar. En el cuadro 4.2 observamos que el valor de los coeficientes de redes de comunicación son al menos 2 veces mayores y hasta 18 veces.

Estos resultados nos indican que las redes de comunicación celular poseen nodos con una

mayor densidad de aristas locales que las redes del modelo Barabási-Albert. Los procesos de comunicación tienen un alto agrupamiento en promedio. Sin embargo, esta medida no muestra una diferencia relevante entre los procesos sanos y procesos enfermos de comunicación celular.

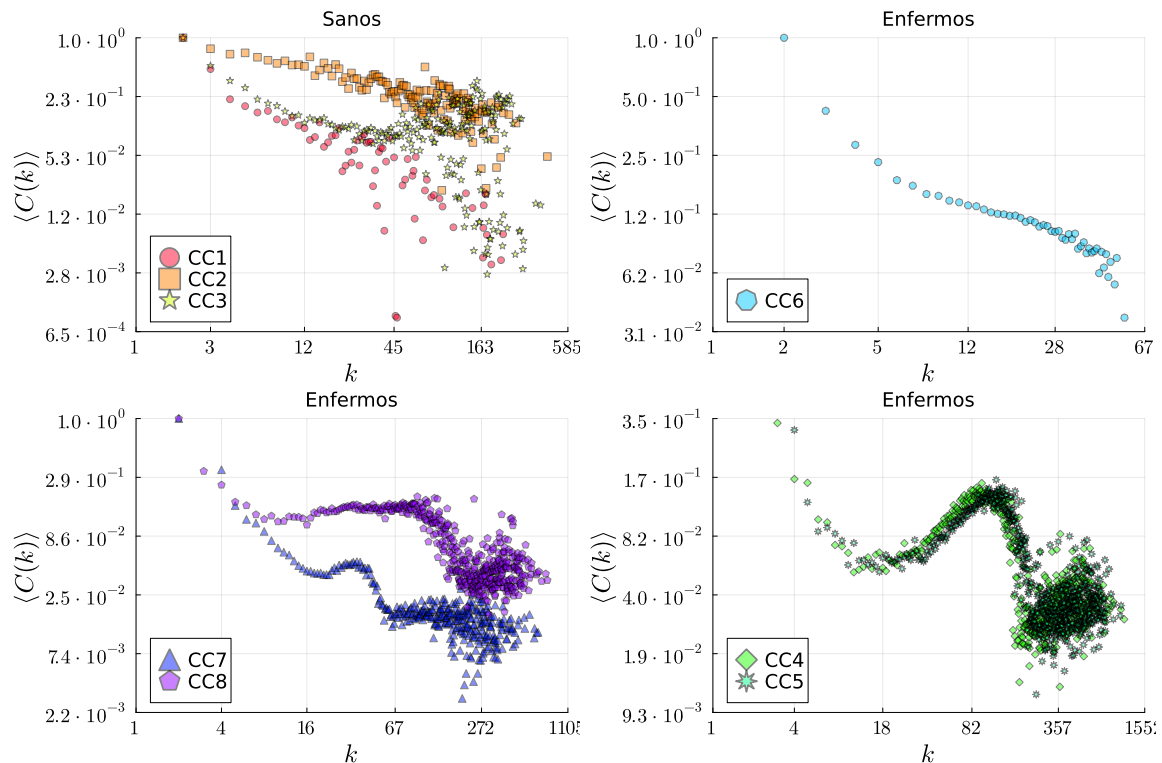


Figura 4.7: Gráfico de dispersión de los coeficientes locales $C(k)$ en función de sus grados en escala semi-logarítmica. En la figura superior izquierda se muestran los procesos de comunicación regulares y en la figura superior derecha y figuras inferiores se muestran los procesos asociados a enfermedades.

Podemos examinar más a fondo la estructura de la red calculando el valor promedio del coeficiente de agrupamiento $\langle C(k) \rangle$ para los nodos con grado k . En la figura 4.7, en el gráfico de los procesos sanos y el gráfico de la red 6, observamos una tendencia decreciente. También observamos que estos coeficientes alcanzan valores altos.

En los procesos asociados a enfermedades notamos que existe un pico en el valor del coeficiente local. Los máximos de estos coeficientes en función de k se dan para valores similares a los que ocurren los máximos en el degree sequence. El alto agrupamiento que indica el pico, nos dice que hay una densidad de aristas concentrada entre nodos de estos grados. Estos resultados no indican algo concreto sobre la biología de los procesos, pero si nos incentivan a realizar nuevos análisis enfocados en nodos con grado en los valores donde alcanzan los máximos de las redes de procesos enfermos.

Observamos en la tabla 4.2 que tanto el promedio como la desviación de los clustering coefficient de cada nodo es cero en la red 6. Esto indica que no existe ningún triángulo 2.3 dentro de toda la red. Analizamos para esta red la distribución de sus aristas, en función de qué tipo de molécula unen, con el propósito de aclarar este comportamiento en la medida topológica del clustering coefficient.

Asociamos cada nodo con el tipo de molécula encontrada en la base de datos y contamos las aristas que unen a cada tipo de nodo. Obtenemos los resultados de la matriz de correlación

entre nodos:

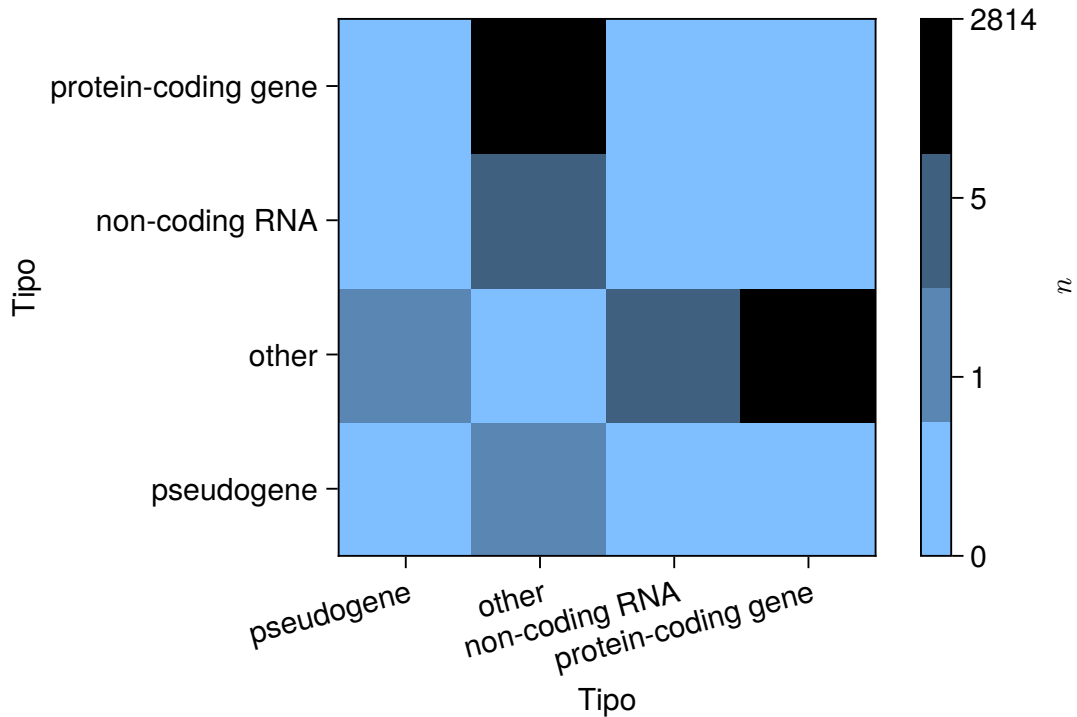


Figura 4.8: Mapa de calor de la matriz de correlación para enlaces entre tipos de molécula de la red de comunicación celular 6. Se muestran las 4 categorías obtenidas.

En la gráfica 4.8 observamos que podemos separar a los grupos de nodos en dos tipos: el primero son los tipos pseudogene, non-coding RNA y protein-code gene; en el segundo la categoría others. Esta última categoría son las moléculas interactuantes que no se encontraron en la base de datos HGNC. Este resultado podría indicar que estamos tratando con una red que posee reacciones enzimáticas[7] y en este caso la categoría others estaría compuesta por enzimas.

El hecho de que el conjunto de todos los nodos en la red se particione en dos conjuntos, tal que todas las aristas de la red conectan a los nodos entre estos dos conjuntos, nos dice que la red 6 es una red bipartita. Esto explica que en toda la red no existan triángulos ya que no hay aristas que unan a nodos del mismo tipo.

4.2.3. SAPL y longitudes de camino

Calculamos el SAPL de cada red de comunicación celular y de las redes BA de tamaños similares. Se presenta esta comparación en la siguiente tabla:

ID	Comunicación C			BA			%
	\bar{l}	D	R	\bar{l}	D	R	
1	3.719	11	6	3.806	6	4	2.29
2	3.394	9	5	2.84	4	3	19.51
3	3.797	10	6	3.243	5	3	17.08
4	2.7	5	4	2.624	4	3	2.9
5	2.596	5	3	2.536	3	2	2.37
6	4.771	10	6	3.35	5	3	42.42
7	2.908	5	3	2.842	4	3	2.32
8	2.85	5	4	2.747	4	3	3.75
9	3.76	9	5	3.11	5	3	20.9

Cuadro 4.3: Se muestran los valores de SAPL, diámetro y radio de las redes para las redes de comunicación celular y las redes BA. Se muestran también las variaciones porcentuales del SAPL con respecto a las redes BA.

Según los valores de la tabla 4.3, las redes de comunicación celular poseen un valor mayor en SAPL, diámetro y radio que las redes BA. Sin embargo, la diferencia de valores en el SAPL, la diferencia no es sustancial, salvo para la red 6 el cambio porcentual alcanza el 42.42%.

Estos resultados parecen indicarnos que las redes de comunicación celular poseen un carácter *small world*[36] como las redes BA.

4.2.4. Closeness

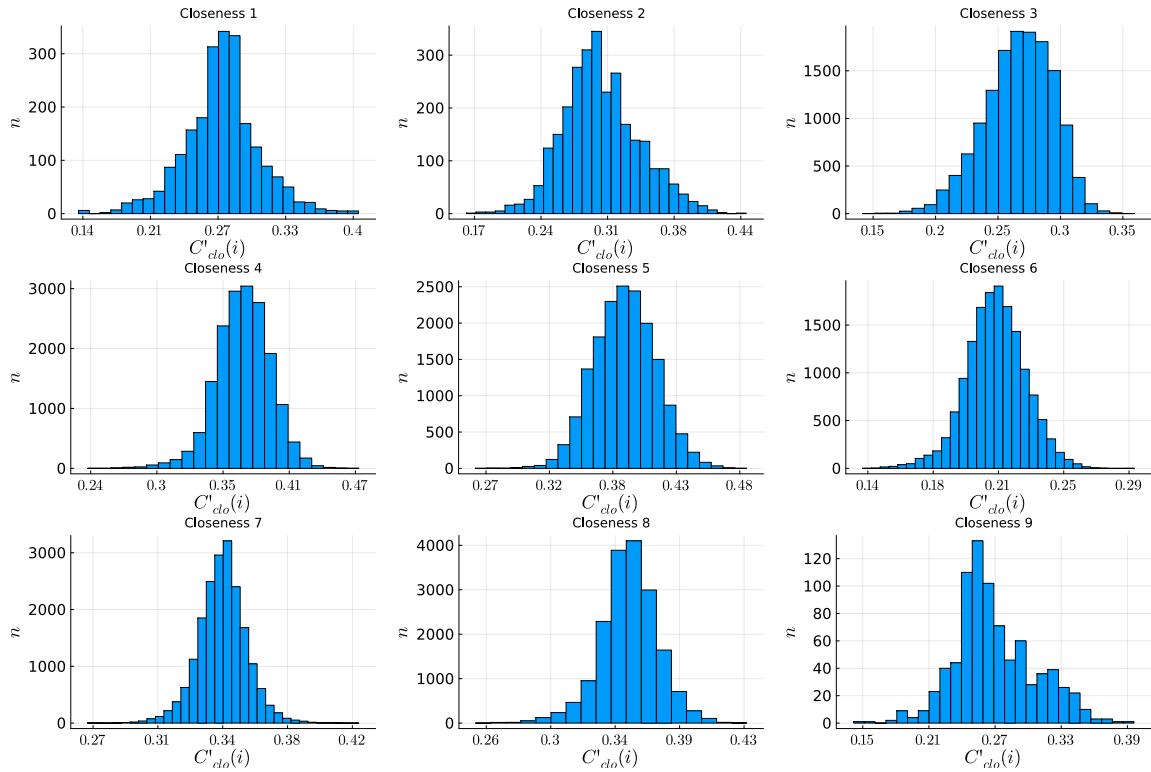


Figura 4.9: Histogramas de frecuencia de centralidad closeness normalizada 3.8 de cada una de las redes de comunicación celular.

Podemos notar en la figura 4.9 una ligera asimetría en la centralidad closeness normalizada hacia la derecha en las redes de comunicación celular, salvo en las redes 2 y 9. La asimetría a la derecha nos dice que hay una mayor proporción de nodos centrales que periféricos en la red. La asimetría hacia la izquierda nos indica lo contrario.

De esta medida no podemos notar diferencias específicas entre procesos de comunicación celular regulares y enfermos. Para obtener más información obtenemos la centralidad promedio entre nodos de grado k .

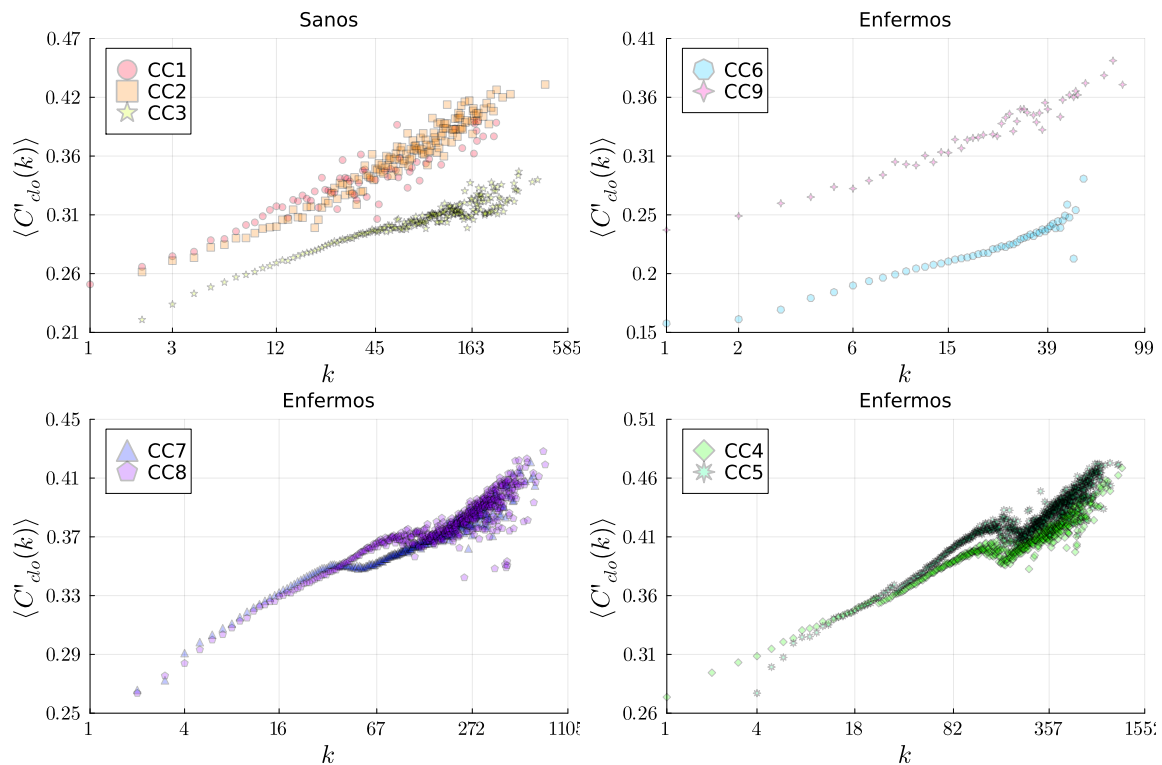


Figura 4.10: Gráfico de centralidad closeness local $\langle C'_{clo}(k) \rangle$ en función de sus grados en escala semilogarítmica. En la figura superior izquierda se muestran los procesos de comunicación normales y en las figuras restantes los procesos asociados a enfermedades.

La figura 4.10 nos muestra una relación positiva entre la medida de centralidad closeness y el grado de un nodo. Podemos observar que los nodos hub en todas las redes también son los nodos más centrales. Esta correlación resalta la importancia de los nodos hub en las redes para mantener la conectividad de la red.

En las redes de las figuras inferiores de 4.10 podemos observar el pico de la centralidad closeness en grados similares en los que ocurren los picos en las medidas degree sequence y local clustering coefficient de los procesos enfermos. Esta diferencia nos dice que para nodos con grados alrededor del pico son más centrales que los nodos con grados cercanos. Este resultado es lógico también por el comportamiento observado en la medida de local clustering coefficient.

4.3. Disortatividad

Para caracterizar esta propiedad calculamos los coeficientes de correlación de Newman 2.19 de las matrices de correlación grado-grado e_{ij} 2.16. Se presentan estos resultados en la siguiente

tabla:

CC	1	2	3	4	5	6	7	8	9
r	-0.328	-0.02	0.025	-0.202	-0.207	0.169	-0.233	-0.175	-0.055

Cuadro 4.4: Coeficientes de correlación de Newman para las redes de comunicación celular.

Observamos que los valores de los coeficientes r para las redes de comunicación son negativos, a excepción de la red 3 y 6. La red 1 presenta el mayor grado de disortatividad con un valor de $r = -0,328$. Las redes 2 y 3 presentan los valores de r más cercanos a cero, lo que indica un comportamiento más similar a una red sin tendencia assortativa. Podemos profundizar más sobre el comportamiento assortativo o disortativo de las redes si graficamos las matrices e_{ij} :

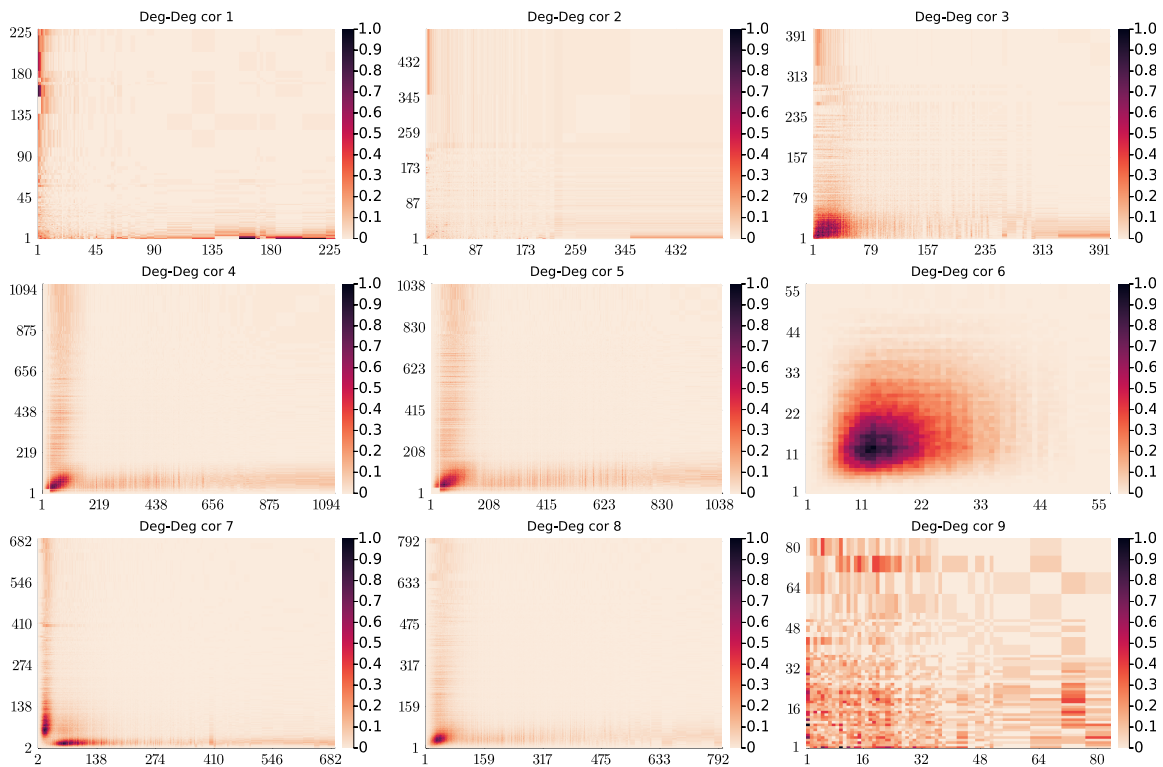


Figura 4.11: Mapa de calor de las matrices e_{ij} de correlación de grados de las redes de comunicación celular.

Observamos en la figura 4.11 para las redes de procesos sanos en la red 1 y 2 una tendencia disortativa. En la red 3 se observa un comportamiento mixto, es decir, los nodos de grado alto tienen una alta probabilidad de conectarse con nodos de grado bajo. Pero, los nodos de grado bajo poseen también una alta probabilidad de conectarse entre sí. Esto explica el coeficiente de correlación cercano a cero para esta red.

Este comportamiento mixto, se puede apreciar también en las redes 4, 5, 7 y 8. En la red 9 podemos observar un comportamiento más desordenado, similar a una red sin asociación, esto puede ser un resultado de que esta red sea bipartita. En la red 6, por el contrario, se aprecia un comportamiento assortativo.

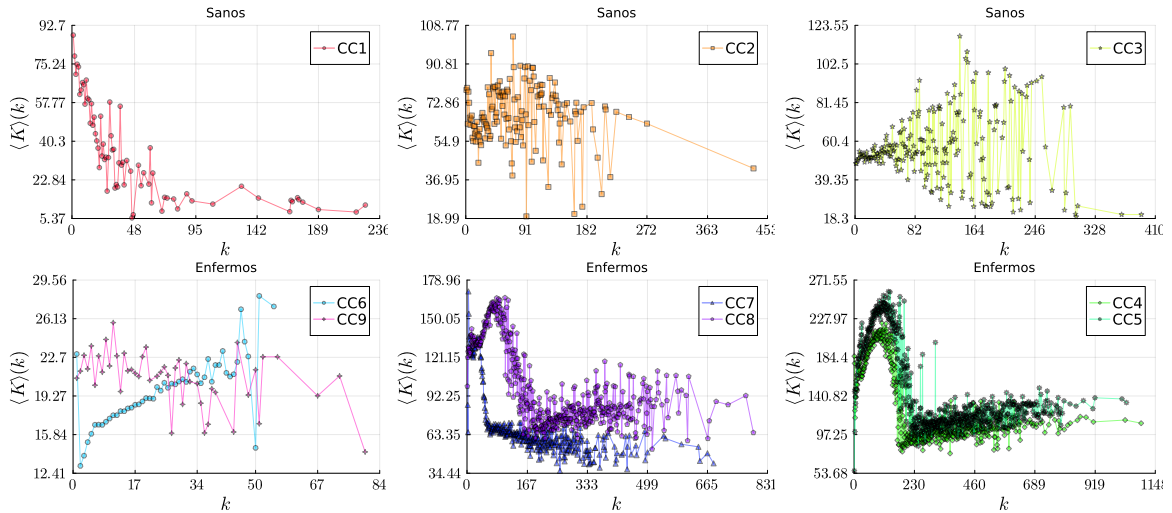


Figura 4.12: Gráfica del promedio de los grados de nodos conectados a un nodo de grado k para las redes de comunicación celular.

Podemos observar en la gráfica 4.12 una tendencia decreciente, esperada en redes disortativas, en la red de comunicación celular 1. En el caso de las redes 2 y 3, que poseen los coeficientes r más cercano a cero, observamos un comportamiento más similar a una red sin tendencia de asociación definida.

En los procesos enfermos, notamos un pico para nodos de grado bajo. Esto es muestra del comportamiento mixto observado en las matrices de la gráfica 4.11. Para la red 6 observamos el comportamiento decreciente para los nodos de menor grado y después una clara tendencia assortativa.

El pico observado en las redes 4,5,7 y 8 se presenta en las mismas regiones de k en las que se presentan los picos en las anteriores medidas estudiadas. Este resultado nos podría indicar que los nodos ubicados cerca de los picos conectan nodos de grado muy bajo con los nodos hub de la red. Estos resultados parecen indicar una posibilidad de que las redes de procesos enfermos presenten un comportamiento jerárquico.

Capítulo 5

CONCLUSIONES

Encontramos diferencias a nivel topológico entre las redes de comunicación celular asociadas a procesos sanos y a procesos enfermos. Estas diferencias se observaron en las medidas de $\langle C(k) \rangle$, degree sequence, centralidad closeness y degree-degree correlation. Los resultados y diferencias obtenidas entre los dos procesos no nos permiten extraer conclusiones biológicamente relevantes.

El degree sequence de las redes muestra un comportamiento asintótico libre de escala en ambos tipos de procesos. Las redes de procesos sanos muestran una tendencia decreciente en esta medida. En las redes de procesos enfermos, se puede observar un pico en la distribución de grados de la red. La comparación de estos resultados nos sugiere que en los procesos sanos predominan las cadenas lineales de reacciones y existen menos bifurcaciones, mientras que en los enfermos existen una mayor cantidad de bifurcaciones en las reacciones.

En la gráfica de $\langle C(k) \rangle$ vs k observamos que en los procesos sanos la tendencia es decreciente. En las redes de procesos enfermos, hay un máximo en los valores del coeficiente para nodos de grado bajo. Este resultado nos permite interpretar que la red posee una densidad de aristas más concentrada cerca de los nodos con estos grados.

En la medida de centralidad closeness no pudimos hallar diferencias relevantes entre los procesos sanos y enfermos, esto porque la distribución de centralidad en los nodos de la red es similar. La medida local de centralidad en función del grado, sin embargo, nos permitió observar un pico alrededor de los nodos con grado similar a los mencionados en las medidas antes descritas en los procesos enfermos. Este resultado apunta a que los nodos con dicho grado son mucho más centrales que los nodos con grados cercanos.

Las matrices de correlación de grados e_{ij} para los procesos enfermos, muestran un comportamiento mixto de assortatividad en cierta región y disortatividad para otras. En los procesos sanos predomina la disortatividad. En las gráficas del promedio de los grados de nodos conectados a nodos de grado k , encontramos nuevamente el pico observado en las otras medidas en los procesos enfermos. Este resultado nos sugiere que los nodos con grado en esta región conectan los pocos nodos hub de la red con los nodos de grado más bajo, un posible comportamiento jerárquico de las redes.

Los resultados obtenidos sobre las redes de procesos enfermos en este análisis preliminar no nos permitieron obtener conclusiones biológicas claras de los procesos. Sin embargo, este análisis nos permitió dilucidar en qué direcciones tomar para realizar nuevos estudios aclaren los resultados biológicos de este tipo de procesos.

Por los picos observados en los nodos de la red en las medidas de degree sequence, local clustering coefficient, local closeness centrality y grado medio de enlace, podríamos preguntarnos la relevancia biológica de las moléculas con grados en estos picos. En base a esto, puede ser útil analizar la distribución de aristas de qué tipos de moléculas conectan a los nodos con estos grados y entender mejor las bifurcaciones en estos procesos. También podemos analizar la medida hierarchical clustering sobre estas redes y así determinar si existe una jerarquía de nodos, con énfasis en los nodos de grado cercano a los picos.

Si las redes analizadas se componen de distintos tipos de moléculas, como la red 6 que es bipartita, podemos encontrar las diferentes sub redes que se forman con cada tipo de molécula. Analizar la topología y la distribución de aristas entre estas sub redes nos puede permitir obtener conclusiones biológicas relevantes de estos procesos y entender el porque de una mayor proporción de bifurcaciones en los procesos enfermos.

BIBLIOGRAFÍA

- [1] Bradshaw, Ralph A. y Dennis, Edward A. *Handbook of Cell Signaling*. en. Academic Press, nov. de 2009. ISBN: 9780080920917.
- [2] Silverthorn, Dee. *Human Physiology: An Integrated Approach*. English. 8th edition. New York: Pearson, ene. de 2018. ISBN: 9780134605197.
- [3] Albert, Réka. «Scale-free networks in cell biology». En: *Journal of Cell Science* 118.21 (nov. de 2005), págs. 4947-4957. ISSN: 0021-9533. DOI: 10.1242/jcs.02714. URL: <https://doi.org/10.1242/jcs.02714>.
- [4] Azeloglu, Evren e Iyengar, Ravi. «Signaling Networks: Information Flow, Computation, and Decision Making». En: *Cold Spring Harbor Perspectives in Biology* 7 (abr. de 2015), a005934. DOI: 10.1101/cshperspect.a005934.
- [5] Tavassoly, Iman, Goldfarb, Joseph e Iyengar, Ravi. «Systems biology primer: the basic methods and approaches». eng. En: *Essays in Biochemistry* 62.4 (oct. de 2018), págs. 487-500. ISSN: 1744-1358. DOI: 10.1042/EBC20180003.
- [6] Newman, M. E. J. «The Structure and Function of Complex Networks». En: *SIAM Review* 45.2 (ene. de 2003), págs. 167-256. ISSN: 0036-1445. DOI: 10.1137/S003614450342480. URL: <https://epubs.siam.org/doi/10.1137/S003614450342480>.
- [7] Pavlopoulos, Georgios A., Secrier, Maria, Moschopoulos, Charalampos N., Soldatos, Theodoros G., Kossida, Sophia, Aerts, Jan, Schneider, Reinhard y Bagos, Pantelis G. «Using graph theory to analyze biological networks». En: *BioData Mining* 4.1 (abr. de 2011), pág. 10. ISSN: 1756-0381. DOI: 10.1186/1756-0381-4-10. URL: <https://doi.org/10.1186/1756-0381-4-10>.
- [8] Ma, Hong-Wu y Zeng, An-Ping. «The connectivity structure, giant strong component and centrality of metabolic networks». eng. En: *Bioinformatics (Oxford, England)* 19.11 (jul. de 2003), págs. 1423-1430. ISSN: 1367-4803. DOI: 10.1093/bioinformatics/btg177.
- [9] Jalili, Mahdi, Salehzadeh-Yazdi, Ali, Gupta, Shailendra, Wolkenhauer, Olaf, Yaghmaie, Marjan, Resendis-Antonio, Osbaldo y Alimoghaddam, Kamran. «Evolution of Centrality Measurements for the Detection of Essential Proteins in Biological Networks». En: *Frontiers in Physiology* 7 (ago. de 2016), pág. 375. ISSN: 1664-042X. DOI: 10.3389/fphys.2016.00375. URL: <https://www.ncbi.nlm.nih.gov/pmc/articles/PMC4999434/> (visitado 02-03-2023).
- [10] Xulvi-Brunet, R, Pietsch, W y Sokolov, I. «Correlations in Scale-Free Networks: Tomography and Percolation». En: *Physical review. E, Statistical, nonlinear, and soft matter physics* 68 (oct. de 2003), pág. 036119. DOI: 10.1103/PhysRevE.68.036119.
- [11] Newman, M. E. J. «Assortative mixing in networks». En: *Physical Review Letters* 89.20 (oct. de 2002). arXiv:cond-mat/0205405, pág. 208701. ISSN: 0031-9007, 1079-7114. DOI: 10.1103/PhysRevLett.89.208701. URL: <http://arxiv.org/abs/cond-mat/0205405> (visitado 20-12-2022).

- [12] Xulvi-Brunet, R. y Sokolov, I. M. «Changing Correlations in Networks: Assortativity and Dissortativity». En: *Acta Physica Polonica B* 36 (mayo de 2005). ADS Bibcode: 2005AcPPB..36.1431X, pág. 1431. ISSN: 0587-4254. URL: <https://ui.adsabs.harvard.edu/abs/2005AcPPB..36.1431X> (visitado 20-12-2022).
- [13] Newman, M. E. J. «Mixing patterns in networks». En: *Physical Review E* 67.2 (feb. de 2003). arXiv:cond-mat/0209450, pág. 026126. ISSN: 1063-651X, 1095-3787. DOI: 10.1103/PhysRevE.67.026126. URL: <http://arxiv.org/abs/cond-mat/0209450> (visitado 21-12-2022).
- [14] Barabási, Albert-László y PÁ3sfai, MÃ¼rton. *Network Science*. en. Google-Books-ID: ZVHesgEACAAJ. Cambridge University Press, jul. de 2016. ISBN: 9781107076266.
- [15] Barabási, Albert-László y Albert, Réka. «Emergence of Scaling in Random Networks». En: 286 (1999), págs. 509-512. ISSN: 0036-8075. DOI: 10.1126/science.286.5439.509.
- [16] Bollobás, Béla y Riordan, Oliver M. «Mathematical results on scale-free random graphs». en. En: *Handbook of Graphs and Networks*. John Wiley & Sons, Ltd, 2002. Cap. 1, págs. 1-34. ISBN: 9783527602759. DOI: 10.1002/3527602755.ch1. URL: <https://onlinelibrary.wiley.com/doi/abs/10.1002/3527602755.ch1> (visitado 11-12-2022).
- [17] Bollobás, Béla y Riordan, Oliver. «The Diameter of a Scale-Free Random Graph». en. En: *Combinatorica* 24.1 (ene. de 2004), págs. 5-34. ISSN: 1439-6912. DOI: 10.1007/s00493-004-0002-2. URL: <https://doi.org/10.1007/s00493-004-0002-2> (visitado 11-12-2022).
- [18] *NDEx About*. en. Nov. de 2014. URL: <http://www.ndexbio.org/about-ndex/> (visitado 11-09-2022).
- [19] *Gene Names HGNC About*. URL: <https://www.genenames.org/about/>.
- [20] Perfetto, Livia, Briganti, Leonardo, Calderone, Alberto, Cerquone Perpetuini, Andrea, Iannuccelli, Marta, Langone, Francesca, Licata, Luana, Marinkovic, Milica, Mattioni, Anna, Pavlidou, Theodora, Peluso, Daniele, Petrilli, Lucia Lisa, Pirrò, Stefano, Posca, Daniela, Santonico, Elena, Silvestri, Alessandra, Spada, Filomena, Castagnoli, Luisa y Cesareni, Gianni. «SIGNOR: a database of causal relationships between biological entities». En: *Nucleic Acids Research* 44.D1 (ene. de 2016), págs. D548-D554. ISSN: 0305-1048. DOI: 10.1093/nar/gkv1048. URL: <https://doi.org/10.1093/nar/gkv1048> (visitado 15-09-2022).
- [21] SIGNOR. *Human Phosphorylation*. Website. URL: https://signor.uniroma2.it/downloads.php#phospho_data.
- [22] Schaefer, Carl F., Anthony, Kira, Krupa, Shiva, Buchoff, Jeffrey, Day, Matthew, Hannay, Timo y Buetow, Kenneth H. «PID: the Pathway Interaction Database». En: *Nucleic Acids Research* 37.Database issue (ene. de 2009), págs. D674-D679. ISSN: 0305-1048. DOI: 10.1093/nar/gkn653. URL: <https://www.ncbi.nlm.nih.gov/pmc/articles/PMC2686461/> (visitado 12-09-2022).
- [23] NDEx. *NCI PID - Complete Interactions*. Website. URL: <https://www.ndexbio.org/viewer/networks/640e2cef-795d-11e8-a4bf-0ac135e8bacf>.
- [24] Huttlin, Edward L., Bruckner, Raphael J., Navarrete-Perea, Jose, Cannon, Joe R., Baltier, Kurt, Gebreab, Fana, Gygi, Melanie P., Thornock, Alexandra, Zarraga, Gabriela, Tam, Stanley, Szpyt, John, Gassaway, Brandon M., Panov, Alexandra, Parzen, Hannah, Fu, Sipei, Golbazi, Arvene, Maenpaa, Eila, Stricker, Keegan, Guha Thakurta, Sanjukta, Zhang, Tian, Rad, Ramin, Pan, Joshua, Nusinow, David P., Paulo, Joao A., Schweppe, Devin K., Vaites, Laura Pontano, Harper, J. Wade y Gygi, Steven P. «Dual proteome-scale networks reveal cell-specific remodeling of the human interactome». en.

En: *Cell* 184.11 (mayo de 2021), 3022-3040.e28. ISSN: 0092-8674. DOI: 10.1016/j.cell.2021.04.011. URL: <https://www.sciencedirect.com/science/article/pii/S0092867421004463> (visitado 12-09-2022).

- [25] NDEx. *BioPlex 3 - HEK293T*. Website. URL: <https://www.ndexbio.org/viewer/networks/6b995fc9-2379-11ea-bb65-0ac135e8bacf>.
- [26] Le, Son B., Riva, Alberto y Tran, David D. «<p>A high-performance pipeline for genome-wide network reconstruction from gene expression data</p>». En: *F1000Research* 6 (nov. de 2017). DOI: 10.7490/f1000research.1115059.1. URL: <https://f1000research.com/posters/6-1979> (visitado 12-09-2022).
- [27] NDEx. *Human Gene Regulatory Network of Mesothelioma*. URL: <https://www.ndexbio.org/viewer/networks/2c4bc231-dace-11e7-adc1-0ac135e8bacf>.
- [28] Yuan, Lushun, Qian, Guofeng, Chen, Liang, Wu, Chin-Lee, Dan, Han C., Xiao, Yu y Wang, Xinghuan. «Co-expression Network Analysis of Biomarkers for Adrenocortical Carcinoma». En: *Frontiers in Genetics* 9 (2018). ISSN: 1664-8021. URL: <https://www.frontiersin.org/articles/10.3389/fgene.2018.00328> (visitado 12-09-2022).
- [29] NDEx. *Human gene regulatory network of adrenocortical carcinoma*. Website. URL: <https://www.ndexbio.org/viewer/networks/3bb11a95-dace-11e7-adc1-0ac135e8bacf>.
- [30] Tanaka, Yoshihisa, Higashihara, Kako, Nakazawa, Mai Adachi, Yamashita, Fumiyoshi, Tamada, Yoshinori y Okuno, Yasushi. *Dynamic change of gene-to-gene regulatory networks in response to SARS-CoV-2 infection*. Inf. téc. ArXiv:2008.09261 [q-bio] type: article. arXiv, ago. de 2020. DOI: 10.48550/arXiv.2008.09261. URL: <http://arxiv.org/abs/2008.09261>.
- [31] NDEx. *The basal gene network in the involvement of respiratory viruses infection including SARS-CoV-2*. Website. URL: <https://www.ndexbio.org/viewer/networks/116f99ca-f0fd-11ea-99da-0ac135e8bacf>.
- [32] NDEx. *Regulon HNSC - Head and Neck Squamous Cell Carcinoma*. Website. URL: <https://www.ndexbio.org/viewer/networks/38b31a74-70c5-11e8-a4bf-0ac135e8bacf>.
- [33] NDEx. *Human Gene Regulatory Network of Ovarian Serous Cystadenocarcinoma*. URL: <https://www.ndexbio.org/viewer/networks/1d2a298a-dace-11e7-adc1-0ac135e8bacf>.
- [34] Zhang, Di, Zhu, Rongrong, Zhang, Hanqian, Zheng, Chun-Hou y Xia, Junfeng. «MGDB: a comprehensive database of genes involved in melanoma». En: *Database: The Journal of Biological Databases and Curation* 2015 (sep. de 2015), bav097. ISSN: 1758-0463. DOI: 10.1093/database/bav097. URL: <https://www.ncbi.nlm.nih.gov/pmc/articles/PMC4589692/> (visitado 15-09-2022).
- [35] NDEx. *Pathways Affected by Melanoma Genes*. URL: <https://www.ndexbio.org/viewer/networks/6bde432c-0b40-11e7-aba2-0ac135e8bacf>.
- [36] Sola Pool, Ithiel de y Kochen, Manfred. «Contacts and influence». en. En: *Social Networks* 1.1 (ene. de 1978), págs. 5-51. ISSN: 0378-8733. DOI: 10.1016/0378-8733(78)90011-4. URL: <https://www.sciencedirect.com/science/article/pii/0378873378900114> (visitado 02-01-2023).

Capítulo 6

Anexos

6.1. Modelo Barabási-Albert

```
1 module Barabasi
2
3
4     contains
5
6     !ran1
7     !  Numeros Aleatorios con semilla idum
8     !  Tomada de Fortran Numerical recipes
9     !
10    real function ran1(idum)
11
12        implicit none
13
14        INTEGER , INTENT(INOUT) :: idum
15
16        INTEGER :: IA, IM, IQ, IR, NTAB, NDIV
17        REAL :: AM, EPS, RNMX
18        PARAMETER (IA=16807, IM=2147483647, AM=1./IM, IQ=127773, IR=2836, &
19        NTAB=32, NDIV=1+(IM-1)/NTAB, EPS=1.2e-7, RNMX=1.-EPS)
20        INTEGER :: j, k, iv(NTAB), iy
21
22
23        save iv, iy
24        DATA iv/NTAB*0/, iy/0/
25
26
27        if (idum.le.0.or.iy.eq.0) then
28
29            idum=max(-idum,1)
30
31            do j=NTAB+8,1,-1
32
33                k=idum/IQ
34
35                idum=IA*(idum-k*IQ)-IR*k
36
37                if (idum.lt.0) idum=idum+IM
38
39                if (j.le.NTAB) iv(j)=idum
40
41            end do
42
43            iy=iv(1)
```

```

44
45     end if
46
47     k=idum/IQ
48     idum=IA*(idum-k*IQ)-IR*k
49     if (idum.lt.0) idum=idum+IM
50     j=1+iy/NDIV
51     iy=iv(j)
52     iv(j)=idum
53     ran1=min(AM*iy,RNMX)
54     return
55
56 end function
57
58 !rand_int
59 !   Enteros aleatorios entre 0 y n-1
60 !
61 integer function rand_int(idum,n) result(r)
62
63     implicit none
64     integer, intent(inout) :: idum
65     integer, intent(in) :: n
66
67     r=int(ran1(idum)*n)
68
69
70 end function rand_int
71
72 !sample
73 !   Toma una muestra aleatoria de n enteros de un arreglo l1
74 !   sin repetir el valor
75 !
76 function sample(l1,n,idum) result(lr)
77
78     implicit none
79     integer, intent(in) :: n,l1(:)
80     integer, intent(inout) :: idum
81     integer, allocatable,dimension(:) :: lr
82     logical, allocatable, dimension(:) :: lp
83     integer :: n0, i, j, v_min, v_max
84
85     n0=size(l1,1)
86     v_min=minval(l1)
87     v_max=maxval(l1)
88
89     allocate(lr(n),lp(v_min:v_max))
90
91     lp(:)=.false.
92     i=0
93
94     do
95         if (i.ge.n) exit
96
97         j=rand_int(idum,n0)+1
98
99         if (.not.lp(l1(j))) then
100
101             lp(l1(j))=.true.
102             i=i+1
103             lr(i)=l1(j)
104
105         end if

```

```

106
107
108     end do
109
110     deallocate(lp)
111
112
113 end function sample
114
115 !BA_net
116 ! Retorna el array edges con la lista de aristas de una red BA de n
117 nodos
118 ! con m conexiones a partir de una red de n0 nodos.
119 !
120 subroutine BA_net(n0,n,m,idum,edges)
121
122     implicit none
123
124     integer, intent(in)                :: n, n0, m
125     integer, intent(inout)             :: idum
126     integer, intent(out), allocatable :: edges(:, :)
127
128     integer, allocatable               :: nodes(:), wk(:), nodes_aux(:)
129     integer                            :: i, ne, offset, j, ii
130
131     if ((n .gt. n0).and.(n0.ge.m)) then
132
133         allocate(nodes(n))
134
135         !Red sin conectar
136         do i=1,n
137             nodes(i)=i-1
138         end do
139
140         !Primeras m conexiones al nodo n0+1
141         nodes_aux=sample(nodes(1:n0),m,idum)
142
143         deallocate(nodes)
144
145         !Numero total de aristas
146         ne=(n-n0)*m
147
148         allocate(edges(2,ne), wk(2*ne))
149
150         offset=1
151         j=1
152
153         do i=1,m
154             edges(1,i)=n0
155             edges(2,i)=nodes_aux(i)
156             j=j+1
157             wk(offset)=n0
158             offset=offset+1
159             wk(offset)=nodes_aux(i)
160             offset=offset+1
161
162         end do
163
164         do i=n0+2,n
165
166             deallocate(nodes_aux)

```



```

167
168         !Preferential attachment
169         nodes_aux=sample(wk(1:offset),m,idum)
170
171         do ii=1,m
172
173             edges(1,j)=i-1
174             edges(2,j)=nodes_aux(ii)
175             j=j+1
176
177             wk(offset)=i-1
178             offset=offset+1
179             wk(offset)=nodes_aux(ii)
180             offset=offset+1
181
182         end do
183
184     end do
185
186     deallocate(wk)
187     deallocate(nodes_aux)
188
189 else
190
191     print*, "Datos Erroneos"
192     stop
193
194 end if
195
196
197
198 end subroutine BA_net
199
200 end module Barabasi

```

6.2. Cálculo Medidas topológicas

6.2.1. Listas simples

```

1 ! linkedlist.f90 --
2 !     Include file for defining linked lists where each element holds
3 !     the same kind of data
4 !
5 !     See the example/test program for the way to use this
6 !
7 !     Note:
8 !     You should only use pointer variables of this type, no
9 !     ordinary variables, as sometimes the memory pointed to
10 !    will be deallocated. The subroutines and functions
11 !    are designed to minimize mistakes (for instance: using
12 !    = instead of =>)
13 !
14 !    $Id: linkedlist.f90,v 1.3 2007/01/26 09:56:43 arjenmarkus Exp $
15 !
16 ! Define the linked-list data type
17 !
18 type LINKED_LIST
19     type(LINKED_LIST), pointer :: next
20     type(LIST_DATA)           :: data
21 end type LINKED_LIST
22
23 !

```

```

24 ! Define the subroutines and functions
25 !
26 contains
27
28 ! list_create --
29 !   Create and initialise a list
30 ! Arguments:
31 !   list      Pointer to new linked list
32 !   data      The data for the first element
33 ! Note:
34 !   This version assumes a shallow copy is enough
35 !   (that is, there are no pointers within the data
36 !   to be stored)
37 !   It also assumes the argument list does not already
38 !   refer to a list. Use list_destroy first to
39 !   destroy up an old list.
40 !
41 subroutine list_create( list, data )
42     type(LINKED_LIST), pointer :: list
43     type(LIST_DATA), intent(in) :: data
44
45     allocate( list )
46     list%next => null()
47     list%data = data
48 end subroutine list_create
49
50 ! list_destroy --
51 !   Destroy an entire list
52 ! Arguments:
53 !   list      Pointer to the list to be destroyed
54 ! Note:
55 !   This version assumes that there are no
56 !   pointers within the data that need deallocation
57 !
58 subroutine list_destroy( list )
59     type(LINKED_LIST), pointer :: list
60
61     type(LINKED_LIST), pointer :: current
62     type(LINKED_LIST), pointer :: next
63
64     current => list
65     do while ( associated(current%next) )
66         next => current%next
67         deallocate( current )
68         current => next
69     enddo
70     deallocate( current )
71     nullify(list)
72 end subroutine list_destroy
73
74 ! list_count --
75 !   Count the number of items in the list
76 ! Arguments:
77 !   list      Pointer to the list
78 !
79 integer function list_count( list )
80     type(LINKED_LIST), pointer :: list
81
82     type(LINKED_LIST), pointer :: current
83     !type(LINKED_LIST), pointer :: next
84
85     if ( associated(list) ) then

```

```

86         list_count = 1
87         current => list
88         do while ( associated(current%next) )
89             current => current%next
90             list_count = list_count + 1
91         enddo
92     else
93         list_count = 0
94     endif
95 end function list_count
96
97 ! list_next
98 !     Return the next element (if any)
99 ! Arguments:
100 !     elem         Element in the linked list
101 ! Result:
102 !
103 function list_next( elem ) result(next)
104     type(LINKED_LIST), pointer :: elem
105     type(LINKED_LIST), pointer :: next
106
107     next => elem%next
108
109 end function list_next
110
111 ! list_insert
112 !     Insert a new element
113 ! Arguments:
114 !     elem         Element in the linked list after
115 !                 which to insert the new element
116 !     data         The data for the new element
117 !
118 subroutine list_insert( elem, data )
119
120     type(LINKED_LIST), pointer :: elem
121     type(LIST_DATA), intent(in) :: data
122
123     type(LINKED_LIST), pointer :: next
124
125     allocate(next)
126
127     next%next => elem%next
128     elem%next => next
129     next%data = data
130
131 end subroutine list_insert
132
133 ! list_insert_head
134 !     Insert a new element before the first element
135 ! Arguments:
136 !     list         Start of the list
137 !     data         The data for the new element
138 !
139 subroutine list_insert_head( list, data )
140
141     type(LINKED_LIST), pointer :: list
142     type(LIST_DATA), intent(in) :: data
143
144     type(LINKED_LIST), pointer :: elem
145
146     allocate(elem)
147     elem%data = data

```

```

148
149     elem%next => list
150     list      => elem
151
152 end subroutine list_insert_head
153
154 ! list_delete_element
155 !     Delete an element from the list
156 ! Arguments:
157 !     list      Header of the list
158 !     elem      Element in the linked list to be
159 !               removed
160 !
161 subroutine list_delete_element( list, elem )
162
163     type(LINKED_LIST), pointer :: list
164     type(LINKED_LIST), pointer :: elem
165
166     type(LINKED_LIST), pointer :: current
167     type(LINKED_LIST), pointer :: prev
168
169     if ( associated(list,elem) ) then
170         list => elem%next
171         deallocate( elem )
172     else
173         current => list
174         prev    => list
175         do while ( associated(current) )
176             if ( associated(current,elem) ) then
177                 prev%next => current%next
178                 deallocate( current ) ! Is also "elem"
179                 exit
180             endif
181             prev    => current
182             current => current%next
183         enddo
184     endif
185     !     allocate(next)
186     !
187     !     next%next => elem%next
188     !     elem%next => next
189     !     next%data = data
190
191 end subroutine list_delete_element
192
193 ! list_get_data
194 !     Get the data stored with a list element
195 ! Arguments:
196 !     elem      Element in the linked list
197 !
198 function list_get_data( elem ) result(data)
199
200     type(LINKED_LIST), pointer :: elem
201
202     type(LIST_DATA)           :: data
203
204     data = elem%data
205 end function list_get_data
206
207 ! list_put_data
208 !     Store new data with a list element
209 ! Arguments:

```

```

210      !      elem      Element in the linked list
211      !      data      The data to be stored
212      !
213      subroutine list_put_data( elem, data )
214
215          type(LINKED_LIST), pointer :: elem
216          type(LIST_DATA), intent(in) :: data
217
218          elem%data = data
219
220      end subroutine list_put_data

```

6.2.2. Redes

6.2.2.1. Declaración de tipo de datos en listas simples

```

1  module DATA_MODULE
2
3
4      type vecino_data
5          integer :: v
6      end type
7
8      type distr
9          real :: key
10         integer :: ncount
11         integer :: n_cum
12         real :: rel_count
13         real :: rel_cum
14
15     end type
16
17 end module
18
19 module vecino_LISTS
20     use DATA_MODULE, ONLY: LIST_DATA => vecino_data
21     include "linkedlist.f90"
22
23 end module vecino_LISTS
24
25 module distr_LISTS
26     use DATA_MODULE, ONLY: LIST_DATA => distr
27     include "linkedlist.f90"
28
29 end module distr_LISTS

```

6.2.2.2. Polimorfismo de listas

```

1  module TWO_LIST_TYPES
2
3      use vecino_LISTS, only: vecino_LINKED_LIST => LINKED_LIST, &
4                          vecino_LIST_DATA    => LIST_DATA, &
5                          list_count_vecino    => list_count, &
6                          list_insert_head_vecino => list_insert_head,
7
8                          &
9                          list_create_vecino    => list_create, &
10                         list_insert_vecino    => list_insert, &
11                         list_next_vecino      => list_next, &
12                         list_get_vecino_data  => list_get_data, &
13                         list_put_vecino_data  => list_put_data, &
14                         list_delete_vecino    => list_delete_element, &
15                         list_destroy_vecino   => list_destroy

```

```

15 use distr_LISTS, only: distr_LINKED_LIST => LINKED_LIST, &
16                        distr_LIST_DATA   => LIST_DATA, &
17                        list_count_distr   => list_count, &
18                        list_insert_head_distr => list_insert_head, &
19                        list_create_distr   => list_create, &
20                        list_insert_distr   => list_insert, &
21                        list_next_distr    => list_next, &
22                        list_get_distr_data => list_get_data, &
23                        list_put_distr_data => list_put_data, &
24                        list_delete_distr  => list_delete_element, &
25                        list_destroy_distr => list_destroy
26 private
27 public :: list_create, list_count, list_destroy, list_get_data, &
28           list_put_data, list_insert, list_next, &
29           list_delete_element, list_insert_head
30 public :: vecino_LINKED_LIST, distr_LINKED_LIST
31 public :: vecino_LIST_DATA, distr_LIST_DATA
32
33 interface list_count
34     module procedure list_count_vecino
35     module procedure list_count_distr
36 end interface
37
38 interface list_insert_head
39     module procedure list_insert_head_vecino
40     module procedure list_insert_head_distr
41 end interface
42
43 interface list_create
44     module procedure list_create_vecino
45     module procedure list_create_distr
46 end interface
47
48 interface list_destroy
49     module procedure list_destroy_vecino
50     module procedure list_destroy_distr
51 end interface
52
53 interface list_insert
54     module procedure list_insert_vecino
55     module procedure list_insert_distr
56 end interface
57
58 interface list_next
59     module procedure list_next_vecino
60     module procedure list_next_distr
61 end interface
62
63 interface list_get_data
64     module procedure list_get_vecino_data
65     module procedure list_get_distr_data
66 end interface
67
68 interface list_put_data
69     module procedure list_put_vecino_data
70     module procedure list_put_distr_data
71 end interface
72
73 interface list_delete_element
74     module procedure list_delete_vecino
75     module procedure list_delete_distr
76 end interface

```

77

78 `end module TWO_LIST_TYPES`

6.2.2.3. Estructura de capas (lista de listas)

```
1 module lis_of_lists
2
3 use TWO_LIST_TYPES
4 type kappa
5 type (kappa), pointer :: next
6 type (vecino_LINKED_LIST), pointer :: root
7 end type
8
9 contains
10
11 subroutine kappa_create( kapa, list)
12
13 implicit none
14 type (kappa), pointer :: kapa
15 type (vecino_LINKED_LIST), pointer :: list
16
17 type (vecino_LINKED_LIST), pointer :: elem1, elem2
18 type (vecino_LIST_DATA) :: v1
19 if (associated(list)) then
20     v1=list_get_data(list)
21
22 allocate(kapa)
23 call list_create(kapa%root,v1)
24 elem2=>kapa%root
25 elem1=>list_next(list)
26 do while(associated(elem1))
27     v1=list_get_data(elem1)
28     call list_insert(elem2,v1)
29     elem1=>list_next(elem1)
30     elem2=>list_next(elem2)
31
32
33 end do
34
35
36 kapa%next=> null()
37 end if
38
39
40
41 end subroutine
42
43 function kappa_next(elem) result(nxt)
44 implicit none
45
46 type (kappa), pointer :: elem
47 type (kappa), pointer :: nxt
48
49 nxt=>elem%next
50
51 end function
52
53 subroutine kappa_insert_k( elem, list )
54
55 implicit none
56 type (kappa), pointer :: elem
57 type (vecino_LINKED_LIST), pointer :: list
```

```

58
59     type (vecino_LINKED_LIST), pointer :: elem1, elem2
60     type (vecino_LIST_DATA) :: v1
61     type(kappa), pointer :: siguiente
62
63
64     if (associated(list)) then
65         v1=list_get_data(list)
66
67         allocate(siguiete)
68
69         call list_create(siguiete%root,v1)
70         elem2=>siguiete%root
71         elem1=>list_next(list)
72         do while(associated(elem1))
73
74             v1=list_get_data(elem1)
75             call list_insert(elem2,v1)
76             elem1=>list_next(elem1)
77             elem2=>list_next(elem2)
78
79         end do
80
81         siguiente%next => elem%next
82         elem%next => siguiente
83
84     end if
85
86 end subroutine
87
88 function kappa_get_data(elem) result(res)
89
90     implicit none
91
92     type(kappa), pointer :: elem
93     type(vecino_LINKED_LIST), pointer :: res
94
95     res=>elem%root
96
97
98 end function
99
100 subroutine kappa_destroy(kapa)
101
102     implicit none
103
104     type(kappa), pointer :: kapa
105
106     type(kappa), pointer :: actual, siguiente
107
108
109     actual => kapa
110     do while ( associated(actual%next) )
111         siguiente => actual%next
112         call list_destroy(kappa_get_data(actual))
113         deallocate( actual )
114         actual => siguiente
115     end do
116     call list_destroy(kappa_get_data(actual))
117     deallocate( actual )
118
119     nullify(kapa)

```



```

120
121     end subroutine
122
123 end module

```

6.2.2.4. Declaración de tipo de dato elemento de la red

```

1 module vector_capas
2     use lis_of_lists
3     type capa
4         type(kappa), pointer :: kappa_i
5
6     end type
7
8 end module

```

6.2.2.5. Funciones y subrutinas para cálculo de medidas topológicas

```

1 module redes_functions
2
3     use vector_capas
4     use distribuciones
5
6     implicit none
7
8     contains
9
10    !add_vecino_ord
11    ! Anade un vecino a la lista ordenado ascendentemente. NO Acepta
12    ! repitencias
13    ! Arg:
14    !     list      : Puntero a la lista de vecinos ordenada y sin repeticion
15    !     vecino   : vecino de la capa actual.
16
17    subroutine add_vecino_ord(list, vecino)
18
19        implicit none
20        type(vecino_LINKED_LIST), pointer :: list
21        type(vecino_LIST_DATA), intent(in) :: vecino
22
23        type(vecino_LINKED_LIST), pointer :: elem1
24        type(vecino_LIST_DATA) :: vecino1
25
26        if(associated(list)) then
27            elem1=>list
28            vecino1=list_get_data(elem1)
29            if(vecino1%v .Ge. vecino%v) then
30                if(vecino1%v .NE. vecino%v) then
31                    call list_insert(list,vecino1)
32                    call list_put_data(list,vecino)
33                end if
34            else
35                do while(associated(list_next(elem1)))
36                    vecino1=list_get_data(list_next(elem1))
37                    if(vecino%v .Gt. vecino1%v) then
38                        elem1=>list_next(elem1)
39                    else
40                        exit
41                    end if
42                end do
43                if(vecino1%v .NE. vecino%v) call list_insert(elem1,vecino)
44            end if
45        end if
46    end subroutine
47
48 end module

```

```

45
46
47     else
48         call list_create(list,vecino)
49     end if
50
51
52
53 end subroutine
54
55
56 !print_list_vecino
57 !   Imprime una lista de vecinos y un entero asociado a la posicion del
vecino de la forma:
58 !   'Posicion          Vecino'
59 !   Arg:
60 !       list      : Puntero a la lista de vecinos
61 subroutine print_list_vecino(list )
62
63     implicit none
64
65     type(vecino_LINKED_LIST), pointer :: list
66     type(vecino_LINKED_LIST), pointer :: elem_k
67     integer :: i
68
69     type(vecino_LIST_DATA)           :: data
70
71
72
73     i=1
74     elem_k => list
75     do while( associated(elem_k) )
76         data = list_get_data(elem_k)
77         write(*,*) i, data%v
78         i=i+1
79         elem_k => list_next(elem_k)
80
81     enddo
82
83 end subroutine
84
85 !resta_v
86 !   Resta de listas: En la lista 1 elimina los elementos de la lista 2
87 !   Arg:
88 !       list1      : Puntero de la lista a modificar
89 !       list2      : Puntero de la lista de elementos a eliminar
90 subroutine resta_v(list1,list2)
91     implicit none
92     type(vecino_LINKED_LIST), pointer :: list1,list2
93
94     type(vecino_LINKED_LIST), pointer :: elem1, elem2, elem_aux
95     type(vecino_LIST_DATA)           :: vecino1, vecino2
96
97     elem1=>list1
98     elem2=>list2
99     do while(associated(elem1) .AND. associated(elem2))
100         vecino1=list_get_data(elem1)
101         vecino2=list_get_data(elem2)
102         if(vecino1%v .gt. vecino2%v) then
103             elem2=>list_next(elem2)
104         else if (vecino1%v .lt. vecino2%v) then
105             elem1=>list_next(elem1)

```

```

106         else
107             elem_aux=>list_next(elem1)
108
109             call list_delete_element(list1,elem1)
110
111             elem1=>elem_aux
112         end if
113     end do
114
115 end subroutine
116
117 function components(file_r) result(n_c)
118
119     implicit none
120     integer                :: n_c
121     type(capa), dimension(:), allocatable :: kapas
122     character(len=*), intent(in)         :: file_r
123
124     type(kappa), pointer :: elem_kp, aux_kp
125
126     type(vecino_LINKED_LIST), pointer :: elem_k1, elem_k2, list_aux, elem
127     type(vecino_LIST_DATA)           :: vecino1
128     integer :: v, i, s, t, e, v2,e1, i1, i2, j, ii, jj, e2
129     integer, allocatable, dimension(:) :: nodos
130
131     open(unit=23,file=file_r,status='unknown')
132
133     read(23,*) v,e
134
135
136     allocate(kapas(0:v-1),nodos(0:v-1)) !k_ij: capa j del nodo i
137     !Capa 0
138
139     do i=0, v-1
140
141         !anadir vecinos en la capa inicial
142         vecino1%v=i
143         call list_create(list_aux,vecino1)
144         call kappa_create(kapas(i)%kappa_i,list_aux)
145
146         call list_destroy(list_aux)
147         !print*, 'nodo:',i,'capa:', 0
148     end do
149
150     !Capa 1
151
152     do i=1, e
153
154         read(23,*) s, t
155         if (s .ne. t) then
156             vecino1%v=t
157             elem_kp=>kapas(s)%kappa_i
158             if (associated(kappa_next( elem_kp))) then
159                 elem_k1=>kappa_get_data(kappa_next(elem_kp))
160                 call add_vecino_ord(elem_k1,vecino1)
161             else
162                 call add_vecino_ord(list_aux,vecino1)
163                 call kappa_insert_k(elem_kp,list_aux)
164                 call list_destroy(list_aux)
165             end if
166
167             elem_kp=>kapas(t)%kappa_i

```

```

168         vecino1%v=s
169         elem_kp=>kapas(t)%kappa_i
170         if (associated(kappa_next( elem_kp))) then
171             elem_k1=>kappa_get_data(kappa_next( elem_kp))
172             call add_vecino_ord(elem_k1,vecino1)
173         else
174             call add_vecino_ord(list_aux,vecino1)
175             call kappa_insert_k(elem_kp,list_aux)
176             call list_destroy(list_aux)
177         end if
178
179     end if
180
181 end do
182 close(23)
183
184
185 i=0
186 elem_kp=>kapas(i)%kappa_i
187 j=1
188 nodos=-2
189 nodos(i)=-1
190 do while( associated(elem_kp))
191     !Añade los vecinos de los nodos asociados en la anterior capa
192     elem_k1=>kappa_get_data(elem_kp)
193     do while (associated(elem_k1))
194         vecino1=list_get_data(elem_k1)
195         ii=vecino1%v
196         aux_kp=>kappa_next(kapas(ii)%kappa_i)
197         elem=>kappa_get_data(aux_kp)
198         do while (associated(elem))
199             vecino1=list_get_data(elem)
200             call add_vecino_ord(list_aux,vecino1)
201             nodos(vecino1%v)=-1
202             elem=>list_next(elem)
203         end do
204         elem_k1=>list_next(elem_k1)
205     end do
206
207
208     !Eliminar los elementos que pertenecen a anteriores capas
209     aux_kp=>kapas(i)%kappa_i
210     do jj=0, j-1
211         elem_k1=>kappa_get_data(aux_kp)
212         call resta_v(list_aux,elem_k1)
213         aux_kp=>kappa_next(aux_kp)
214     end do
215     if (associated(list_aux)) then
216         call kappa_insert_k(elem_kp,list_aux)
217         call list_destroy(list_aux)
218     end if
219
220     elem_kp=>kappa_next(elem_kp)
221     j=j+1
222 end do
223
224 i1=0
225 i2=0
226 do i=0,v-1
227     if(nodos(i).ne.-1) then
228         vecino1%v=i
229         call add_vecino_ord(list_aux,vecino1)

```

```

230         nodos(i)=i2
231         i2=i2+1
232     else
233         nodos(i)=i1
234         i1=i1+1
235     end if
236 end do
237 v2=list_count(list_aux)
238 if (v2 .eq. 0) then
239     n_c=1
240
241 else
242     n_c=2
243     e1=0
244     e2=0
245     elem_k1=>list_aux
246     vecino1=list_get_data(elem_k1)
247     s=vecino1%v
248     do i=0,v-1
249         elem_k2=>kappa_get_data(kappa_next(kapas(i)%kappa_i))
250
251         if(s .eq. i) then
252             do while(associated(elem_k2))
253                 vecino1=list_get_data(elem_k2)
254                 if(nodos(s) .gt. nodos(vecino1%v)) then
255                     e2=e2+1
256                 end if
257                 elem_k2=>list_next(elem_k2)
258             end do
259             elem_k1=>list_next(elem_k1)
260             if(associated(elem_k1)) then
261                 vecino1=list_get_data(elem_k1)
262                 s=vecino1%v
263             end if
264         else
265             do while(associated(elem_k2))
266                 vecino1=list_get_data(elem_k2)
267                 if(nodos(i) .gt. nodos(vecino1%v)) then
268                     e1=e1+1
269                 end if
270                 elem_k2=>list_next(elem_k2)
271             end do
272         end if
273     end do
274
275
276     open(32,file='componente1.dat',status='unknown')
277     open(23,file='componente2.dat',status='unknown')
278
279     write(23,*) v2, e2
280     write(32,*) v-v2, e1
281     elem_k1=>list_aux
282     vecino1=list_get_data(elem_k1)
283     s=vecino1%v
284
285     do i=0,v-1
286         elem_k2=>kappa_get_data(kappa_next(kapas(i)%kappa_i))
287
288         if(s .eq. i) then
289             do while(associated(elem_k2))
290                 vecino1=list_get_data(elem_k2)
291                 if(nodos(s) .gt. nodos(vecino1%v)) then

```

```

292         write(23,*) nodos(s), nodos(vecino1%v)
293     end if
294     elem_k2=>list_next(elem_k2)
295 end do
296 elem_k1=>list_next(elem_k1)
297 if(associated(elem_k1)) then
298     vecino1=list_get_data(elem_k1)
299     s=vecino1%v
300 end if
301 else
302 do while(associated(elem_k2))
303     vecino1=list_get_data(elem_k2)
304     if(nodos(i) .gt. nodos(vecino1%v)) then
305         write(32,*) nodos(i), nodos(vecino1%v)
306     end if
307     elem_k2=>list_next(elem_k2)
308 end do
309 end if
310 end do
311
312     close(32)
313     close(23)
314     call list_destroy(list_aux)
315 end if
316
317
318     call capa_destroy(kapas)
319
320     deallocate(kapas)
321
322
323 end function
324
325
326 !construct_kapa
327 ! Subrutina para la construccion de capas iterativamente en base a la
red
328 ! Arg:
329 !     kapas    : Vector de kappas donde la i-esima posicion corresponde
a la kapa 0 del nodo i de la red
330 !     net      : Vector de nodos donde la i-esima posicion corresponde
al nodo i de la red
331 subroutine construct_kapa(kapas, file_r)
332
333     implicit none
334
335     type(capa), dimension(:), allocatable :: kapas
336     character(len=*), intent(in)          :: file_r
337
338     type(kappa), pointer :: elem_kp, aux_kp
339
340     type(vecino_LINKED_LIST), pointer :: elem_k1, list_aux, elem
341     type(vecino_LIST_DATA)           :: vecino1
342     integer :: v, i, j, ii, jj, s, t, e
343
344     open(unit=23,file=file_r,status='unknown')
345
346     read(23,*) v,e
347     if(associated(list_aux)) then
348         nullify(list_aux)
349     end if
350

```

```

351 allocate(kapas(0:v-1)) !k_ij: capa j del nodo i
352 !Capa 0
353
354
355 do i=0, v-1
356     if(associated(kapas(i)%kappa_i)) then
357         nullify(kapas(i)%kappa_i)
358     end if
359     !anadir vecinos en la capa inicial
360     vecino1%v=i
361     call list_create(list_aux,vecino1)
362     call kappa_create(kapas(i)%kappa_i,list_aux)
363
364     call list_destroy(list_aux)
365
366 end do
367
368 !Capa 1
369
370 do i=1, e
371
372     read(23,*) s, t
373     if (s .ne. t) then
374         vecino1%v=t
375         elem_kp=>kapas(s)%kappa_i
376         if (associated(kappa_next( elem_kp))) then
377             elem_k1=>kappa_get_data(kappa_next(elem_kp))
378             call add_vecino_ord(elem_k1,vecino1)
379         else
380             call add_vecino_ord(list_aux,vecino1)
381             call kappa_insert_k(elem_kp,list_aux)
382             call list_destroy(list_aux)
383         end if
384
385         vecino1%v=s
386         elem_kp=>kapas(t)%kappa_i
387         if (associated(kappa_next( elem_kp))) then
388             elem_k1=>kappa_get_data(kappa_next(elem_kp))
389             call add_vecino_ord(elem_k1,vecino1)
390         else
391             call add_vecino_ord(list_aux,vecino1)
392             call kappa_insert_k(elem_kp,list_aux)
393             call list_destroy(list_aux)
394         end if
395
396     end if
397
398 end do
399
400 !Capas 2-n
401
402 do i=0, v-1
403     elem_kp=>kappa_next(kapas(i)%kappa_i)
404     j=2
405     do while( associated(elem_kp))
406
407         !Anade los vecinos de los nodos asociados en la anterior capa
408         elem_k1=>kappa_get_data(elem_kp)
409         do while (associated(elem_k1))
410             vecino1=list_get_data(elem_k1)
411             ii=vecino1%v
412             aux_kp=>kappa_next(kapas(ii)%kappa_i)

```

```

413         elem=>kappa_get_data(aux_kp)
414         do while (associated(elem))
415             vecino1=list_get_data(elem)
416             call add_vecino_ord(list_aux,vecino1)
417             elem=>list_next(elem)
418         end do
419         elem_k1=>list_next(elem_k1)
420     end do
421     !Eliminar los elementos que pertenecen a anteriores capas
422     aux_kp=>kapas(i)%kappa_i
423     do jj=0, j-1
424         elem_k1=>kappa_get_data(aux_kp)
425         call resta_v(list_aux,elem_k1)
426         aux_kp=>kappa_next(aux_kp)
427     end do
428     if (associated(list_aux)) then
429         call kappa_insert_k(elem_kp,list_aux)
430         call list_destroy(list_aux)
431     end if
432     elem_kp=>kappa_next(elem_kp)
433     j=j+1
434 end do
435
436
437 end do
438
439 print*, 'Finalizo la creacion de capas correctamente'
440 end subroutine
441
442 !caminos
443 !   Escribe la longitud de camino del nodo i al nodo j en base a la capa
444 !   formada, de la forma:
445 !   'Nodo i      Nodo j      Path Length'
446 !   Arg:
447 !       file_t   : Nombre del archivo de texto para escribir los caminos
448 !       kapas    : Vector de capas
449 subroutine caminos(kapas)
450
451     implicit none
452     type(capa), dimension(:), intent(in) :: kapas
453     character(len=*),parameter :: file_t='caminos2.dat'
454     type(distr_medidas)          :: pathh
455     type(kappa), pointer :: elem_kp
456     type(vecino_LIST_DATA) :: vecino_1
457     type(vecino_LINKED_LIST), pointer :: elem
458     integer :: l1, i, j
459
460     if (associated(pathh%inf_t)) then
461         nullify(pathh%inf_t)
462     end if
463
464     l1=size(kapas,1)
465
466     do i=1,l1
467         j=0
468         elem_kp=>kapas(i)%kappa_i
469         do while (associated(elem_kp))
470
471             elem=>kappa_get_data(elem_kp)
472
473             do while(associated(elem))
474                 vecino_1=list_get_data(elem)

```



```

475         if (i-1 .gt. vecino_1%v) then
476             call add_distr_ord(pathh,real(j))
477         end if
478         elem=>list_next(elem)
479     end do
480     elem_kp=>kappa_next(elem_kp)
481     j=j+1
482 end do
483 end do
484 call dist_medidas(pathh)
485
486 call print_medidas(pathh,file_t)
487
488 call list_destroy(pathh%inf_t)
489 end subroutine
490
491 !degree
492 !   Escribe el grado de salida y entrada de cada nodo en la red, de la
493 forma:
494 !   'Nodo      Kin      Kout'
495 !   Arg:
496 !       file      : Nombre del archivo de texto
497 !       net       : Vector de nodos
498 subroutine degree( kapas)
499     implicit none
500
501     type(capa), dimension(:), intent(in) :: kapas
502
503
504     character(len=*) , parameter          :: file3='degree.dat'
505     type(distr_medidas)                   :: k_k
506     type(vecino_LINKED_LIST), pointer     :: elem
507     integer                                :: l1, i, kk
508
509     l1=size(kapas,1)
510
511
512     if (associated(k_k%inf_t)) then
513         nullify(k_k%inf_t)
514     end if
515     do i=1, l1
516         elem=>kappa_get_data(kappa_next(kapas(i)%kappa_i))
517
518         kk=list_count(elem)
519         call add_distr_ord(k_k,real(kk))
520     end do
521     call dist_medidas(k_k)
522     call print_medidas(k_k,file3)
523     call list_destroy(k_k%inf_t)
524
525 end subroutine
526
527 !clusteringc
528 !   Escribe el clustering coefficient de cada nodo en la red, de la forma
529 :
530 !   'Nodo      CC'
531 !   Arg:
532 !       file      : Nombre del archivo de texto
533 !       net       : Vector de nodos
534 subroutine clusteringc(kapas)
535     implicit none

```

```

535
536     type(capa), dimension(:), intent(in):: kapas
537     character(len=*), parameter          :: file1='clustering.dat'
538     type(distr_medidas)                  :: cluster
539
540     type(vecino_LINKED_LIST), pointer    :: elem1, elem2, elem3
541     type(vecino_LIST_DATA)               :: arista1, arista2, arista3
542     integer                               :: l1, i, k
543     real                                   :: cc
544
545     l1=size(kapas,1)
546     if (associated(cluster%inf_t)) then
547         nullify(cluster%inf_t)
548     end if
549
550     do i=1, l1
551         elem1=>kappa_get_data(kappa_next(kapas(i)%kappa_i))
552         k=list_count(elem1)
553         cc=0.
554         if(k .GT. 1) then
555             do while(associated(elem1))
556
557                 arista1=list_get_data(elem1)
558                 elem2=>list_next(elem1)
559                 do while(associated(elem2))
560                     arista2=list_get_data(elem2)
561                     elem3=>kappa_get_data(kappa_next(kapas(arista2%v+1)%
kappa_i))
562                         do while(associated(elem3))
563                             arista3=list_get_data(elem3)
564                             if(arista3%v .EQ. arista1%v) then
565                                 cc=cc+1.
566                                 exit
567                             else if(arista3%v .GT. arista1%v) then
568                                 exit
569                             end if
570                             elem3=>list_next(elem3)
571                         end do
572
573                             elem2=>list_next(elem2)
574                         end do
575                             elem1=>list_next(elem1)
576                         end do
577                             cc=2.*cc/(k*k-k)
578                             call add_distr_ord(cluster,cc)
579                     end if
580
581
582
583                 end do
584
585
586                 call dist_medidas(cluster)
587
588                 call print_medidas(cluster,file1)
589
590                 call list_destroy(cluster%inf_t)
591
592     end subroutine
593
594     !capa_destroy
595     ! Eliminacion de la las capas de la memoria

```

```

596 ! Arg:
597 !     kp      : vector de capas a destruir
598 subroutine capa_destroy( kp)
599
600     implicit none
601     type(capa), dimension(:), intent(inout):: kp
602     integer :: l1, i
603     l1=size(kp,1)
604
605     do i=1,l1
606         call kappa_destroy(kp(i)%kappa_i)
607     end do
608
609
610
611 end subroutine
612
613
614 end module

```

6.2.2.6. Funciones y subrutinas de indicadores estadísticos

```

1 module distribuciones
2
3     use TWO_LIST_TYPES
4
5     type distr_medidas
6         type(distr_LINKED_LIST), pointer :: inf_t
7         real :: max
8         real :: min
9         integer :: total
10        real :: med
11        real :: mediana
12        real :: moda
13        real :: desv_abs
14        real :: var
15        real :: skew
16        real :: curt
17
18    end type
19
20    contains
21
22    subroutine add_distr_ord(x_i, kkey)
23
24        implicit none
25
26        type(distr_medidas) :: x_i
27        real, intent(in) :: kkey
28
29        type(distr_LINKED_LIST), pointer :: list
30        type(distr_LINKED_LIST), pointer :: elem1
31        type(distr_LIST_DATA) :: key, key1
32        integer :: i
33        key%key=kkey
34        key%ncount=1
35        list=>x_i%inf_t
36        if(associated(list)) then
37            elem1=>list
38            key1=list_get_data(elem1)
39            if(key1%key .Ge. key%key) then
40                if(key1%key .NE. key%key) then

```

```

41         call list_insert(list,key1)
42         call list_put_data(list,key)
43         !print*, 'Se inserta al principio', key%key, key%ncount
44     else
45         key%ncount=key1%ncount+1
46         call list_put_data(list,key)
47         !print*, 'Se aumenta el contador al principio'
48     end if
49 else
50     i=1
51     do while(associated(list_next(elem1)))
52         i=i+1
53         key1=list_get_data(list_next(elem1))
54         if(key%key .Gt. key1%key) then
55             elem1=>list_next(elem1)
56         else
57             exit
58         end if
59     end do
60
61     if(key1%key .NE. key%key) then
62         call list_insert(elem1,key)
63         !print*, 'Se inserta en la posicion', i+1
64     else
65         key%ncount=key1%ncount+1
66         !print*, 'Se aumenta en la posicion', i+1
67         call list_put_data(list_next(elem1),key)
68     end if
69
70     end if
71
72
73 else
74     !print*, 'primer item'
75     call list_create(x_i%inf_t,key)
76
77 end if
78
79
80 end subroutine
81
82 subroutine dist_medidas(x_i)
83     implicit none
84
85     type(distr_medidas)                :: x_i
86
87     type(distr_LINKED_LIST), pointer   :: list
88     type(distr_LINKED_LIST), pointer   :: elem
89     type(distr_LIST_DATA)              :: data_i
90     integer :: n_max
91     real    :: sr1
92     logical :: st
93
94
95     list=> x_i%inf_t
96     elem=>list
97     x_i%total=0
98     n_max=-1
99     if (associated(elem)) then
100         data_i=list_get_data(elem)
101         x_i%min=data_i%key
102     end if

```

```

103     do while(associated(elem))
104         data_i=list_get_data(elem)
105         x_i%total=x_i%total+data_i%ncount
106         if(data_i%ncount .gt. n_max) then
107             n_max=data_i%ncount
108             x_i%moda=data_i%key
109         end if
110         data_i%n_cum=x_i%total
111         call list_put_data(elem,data_i)
112         elem=>list_next(elem)
113     end do
114     x_i%max=data_i%key
115     elem=>list
116     sr1=0.
117     x_i%med=0.
118     st=.True.
119
120     do while(associated(elem))
121         data_i=list_get_data(elem)
122         data_i%rel_count=(1.*data_i%ncount)/(1.*x_i%total)
123         x_i%med=x_i%med+data_i%rel_count*data_i%key
124         sr1=sr1+data_i%rel_count
125         if(sr1 .ge. 0.5 .and. st) then
126             x_i%mediana=data_i%key
127             st=.False.
128         end if
129         data_i%rel_cum=sr1
130         call list_put_data(elem,data_i)
131         elem=>list_next(elem)
132     end do
133
134     elem=>list
135     x_i%desv_abs=0.
136     x_i%var=0.
137     x_i%skew=0.
138     x_i%curt=0.
139     do while(associated(elem))
140         data_i=list_get_data(elem)
141         x_i%desv_abs=x_i%desv_abs+abs(x_i%mediana-data_i%key)*data_i%
rel_count
142         x_i%var=x_i%var+((x_i%med-data_i%key)**2)*data_i%rel_count
143         x_i%skew=x_i%skew+((x_i%med-data_i%key)**3)*data_i%rel_count
144         x_i%curt=x_i%curt+((x_i%med-data_i%key)**4)*data_i%rel_count
145         elem=>list_next(elem)
146     end do
147     x_i%skew=x_i%skew/(x_i%var)**1.5
148     x_i%curt=x_i%curt/(x_i%var)**2-3.
149 end subroutine dist_medidas
150
151 subroutine print_medidas(x_i,fle)
152
153     implicit none
154     type(distr_medidas), intent(in) :: x_i
155     character(len=*), intent(in)   :: fle
156
157
158     type(distr_LINKED_LIST), pointer :: list
159     type(distr_LINKED_LIST), pointer :: elem
160     type(distr_LIST_DATA)           :: data_i
161
162
163     open(unit=23, file=fle, status='unknown')

```

```

164
165     write(23,*) '## Medidas Estadisticas ##'
166     write(23,*) '# |Min=', x_i%min, '|Max=',x_i%max, '|#Elementos=',x_i%
total
167     write(23,*) '# |Media=', x_i%med, '|Mediana=', x_i%mediana, '|Moda=',
x_i%moda
168     write(23,*) '# |Desviacion estandar=', sqrt(x_i%var), '|Desviacion
absoluta=', x_i%desv_abs
169     write(23,*) '# |Skewness=', x_i%skew, '|Kurtosis=', x_i%curt
170     write(23,*) '
#-----#
'
171     write(23,*) '#      x_i          n_i          N_i          f_i
F_i'
172     write(23,*) '
#-----#
'
173     list=>x_i%inf_t
174
175     elem=>list
176
177     do while(associated(elem))
178         data_i=list_get_data(elem)
179         write(23,*) data_i%key, data_i%ncount, data_i%n_cum, data_i%
rel_count, data_i%rel_cum
180         elem=>list_next(elem)
181     end do
182
183     close(unit=23)
184
185
186     end subroutine print_medidas
187
188 end module

```

6.3. Modulo de Python

6.3.1. Importe y limpieza de redes

```

1 import json
2 import pandas as pd
3 from collections import defaultdict
4
5 # importamos el archivo file y obtenemos dos DataFrames del conjunto de nodos
6 # y de aristas
7
8 def import_net(file):
9
10     file1=open(file,"r")
11
12     # Obtenemos los datos del archivo ".cx" de la red en formato json
13     o1=json.load(file1)
14
15     file1.close()
16
17     # Obtenemos los lugares del array o1 donde se encuentran los datos
18     relacionados
19     # a los nodos y aristas de la red
20     i1=0
21     i2=0
22     for i in range(len(o1)):
23         if "nodes" in o1[i].keys():

```

```

23         i1=i
24         if "edges" in o1[i].keys():
25             i2=i
26
27     # Estructuramos los datos de los nodos de la red en un DataFrame
28     df1=pd.DataFrame(o1[i1]["nodes"])
29
30     # Guardamos solo las columnas relacionadas al numero del nodo y el nombre
31     # de la molecula asociada [@id: int, n: str ]
32
33     if "r" in df1.columns:
34         df1.drop("r",axis=1,inplace=True)
35
36
37     # Estructuramos los datos de las aristas en dos columnas [s: int,t: int]
38     df2=pd.DataFrame(o1[i2]["edges"]).drop(["@id"],axis=1)
39
40     return df2
41
42 # filtramos las aristas de la red para evitar loops, aristas repetidas y
43 # retorna
44 # un DataFrame de aristas ordenadas.
45 def filtering_edges(df2: pd.DataFrame):
46
47     # Duplicamos las aristas existentes e invertimos el orden de las aristas
48     # en el segundo grupo
49
50     dfi=pd.DataFrame(columns=["s","t"])
51     dfi["t"]=df2.s
52     dfi["s"]=df2.t
53     dfi=pd.concat([df2,dfi],ignore_index=True)
54
55     # Mantenemos solo las aristas tal que t>s para eliminar loops
56     dfi=dfi[dfi.s<dfi.t]
57     # Ordenamos
58     dfi=dfi.sort_values(by="s")
59     # Eliminamos las aristas repetidas
60     dfi=dfi.drop_duplicates()
61
62     return dfi
63
64 # Retorna un diccionario (: int, list(:int,:str)) con keys el conjunto de
65 # nodos vi y les asigna un nuevo nodo de 0 a |V|-1 con su nombre de molecula
66 def di_nodesid(df1 : pd.DataFrame, vi: list):
67
68     di1=defaultdict(int)
69
70     #inicializacion de V'
71     for i in range(len(vi)):
72         di1[vi[i]]=i,""
73
74     # mapeo entre el conjunto de nodos declarado en df1 a V'
75     for i in range(len(df1)):
76         di1[df1.loc[i,"@id"]][1]=df1.loc[i,"n"]
77
78     return di1
79
80
81 # mapea las aristas del espacio E en V a E' en V' y retorna un DataFrame con
82 # las aristas de E'
83

```

```

84 def change_id(di_nodes: defaultdict ,df2: pd.DataFrame):
85
86     # Funcion local que retorna el nodo de V'
87     f=lambda y: di_nodes[y][1]
88
89     df2p=pd.DataFrame(columns=["s","t"])
90
91     # Cambio de E->E'
92     df2p.s=df2.s.apply(f)
93     df2p.t=df2.t.apply(f)
94
95     # Ordenar las aristas
96     df2p=df2p.sort_values(by=["s","t"])
97
98     return df2p
99
100 # Exporta los datos de nodos y aristas de la red en dos ficheros "nodos.dat"
    y
101 # "red_r.dat"
102
103 def export_data(df2: pd.DataFrame , di_nodes: defaultdict):
104
105     file1=open("nodos.dat","w")
106
107     for item in di_nodes:
108         file1.write("{}\t{}".format(item[0],item[1]))
109
110     file1.close()
111
112     file1=open("red_r.dat","w")
113
114     file1.write("{}\t{}".format(len(di_nodes),len(df2)))
115
116     for i in range(len(df2)):
117         file1.write("{}\t{}".format(df2.loc[i,"s"],df2.loc[i,"t"]))
118     file1.close()

```

6.3.2. Búsqueda en base de datos HGNC y asociacion de moléculas con su tipo

```

1 import json
2 import pandas as pd
3 # A partir de la base de datos HGNC repartida en df1 (nombres actuales)
4 # df2 (nombres antiguos)
5 # df3 (nombres reconocidos analogos)
6
7 def types(df1: pd.DataFrame,df2: pd.DataFrame ,
8           df3: pd.DataFrame , df_n: pd.DataFrame):
9
10     # Fijamos los indices con las columnas del nombre de cada df
11     df1.set_index("symbol",inplace=True)
12     df2.set_index("prev_symbol",inplace=True)
13     df3.set_index("alias_symbol",inplace=True)
14
15     # Agregamos la columna types al dataframe de nodos con valor "None"
16
17     df_n["type"]=["None" for i in range(len(df1))]
18
19     # ciclo para asociar a las moléculas con su tipo registrado en las bases
20     # df1, df2 y df3 en "locus_group"
21
22     for dfi in [df1,df2,df3]:

```



```

23
24     # agregamos a var1 el nombre de las moleculas que aun no se asocian
con
25     # un tipo
26
27     var1=df_n.loc[df_n["type"]=="None"]["n"]
28
29     # Si el nombre utilizado de la molecula se encuentra en las bases de
datos
30     # se agrega su tipo, caso contrario se agrega "None"
31     for i in var1.index:
32         try:
33             df_n.loc[i,"type"]=dfi.loc[var1.loc[i],"locus_group"]
34         except:
35             df_n.loc[i,"type"]="None"
36
37
38     # Ciclo para reemplazar si es que existen moleculas con las siglas en
39     # mayuscula
40     for dfi in [df1,df2,df3]:
41
42         var1=df_n.loc[df_n["type"]=="None"]["n"]
43         for i in var1.index:
44             try:
45                 df_n.loc[i,"type"]=dfi.loc[var1.loc[i].replace("ORF","orf"),"
locus_group"]
46             except:
47                 df_n.loc[i,"type"]="None"
48
49     # a las moleculas que no se encontraron en la base se les coloca el tipo
"other"
50
51     df_n["type"]=df_n["type"].apply(lambda x: "other" if x == "None" else x)
52
53     # Eliminamos la columna del nombre de las moleculas
54     df_n.drop("n",axis=1,inplace=True)
55
56     return df_n

```